



Caractérisation de complexes d'inhibiteurs à visée thérapeutique : application à l'intégrase du VIH-1

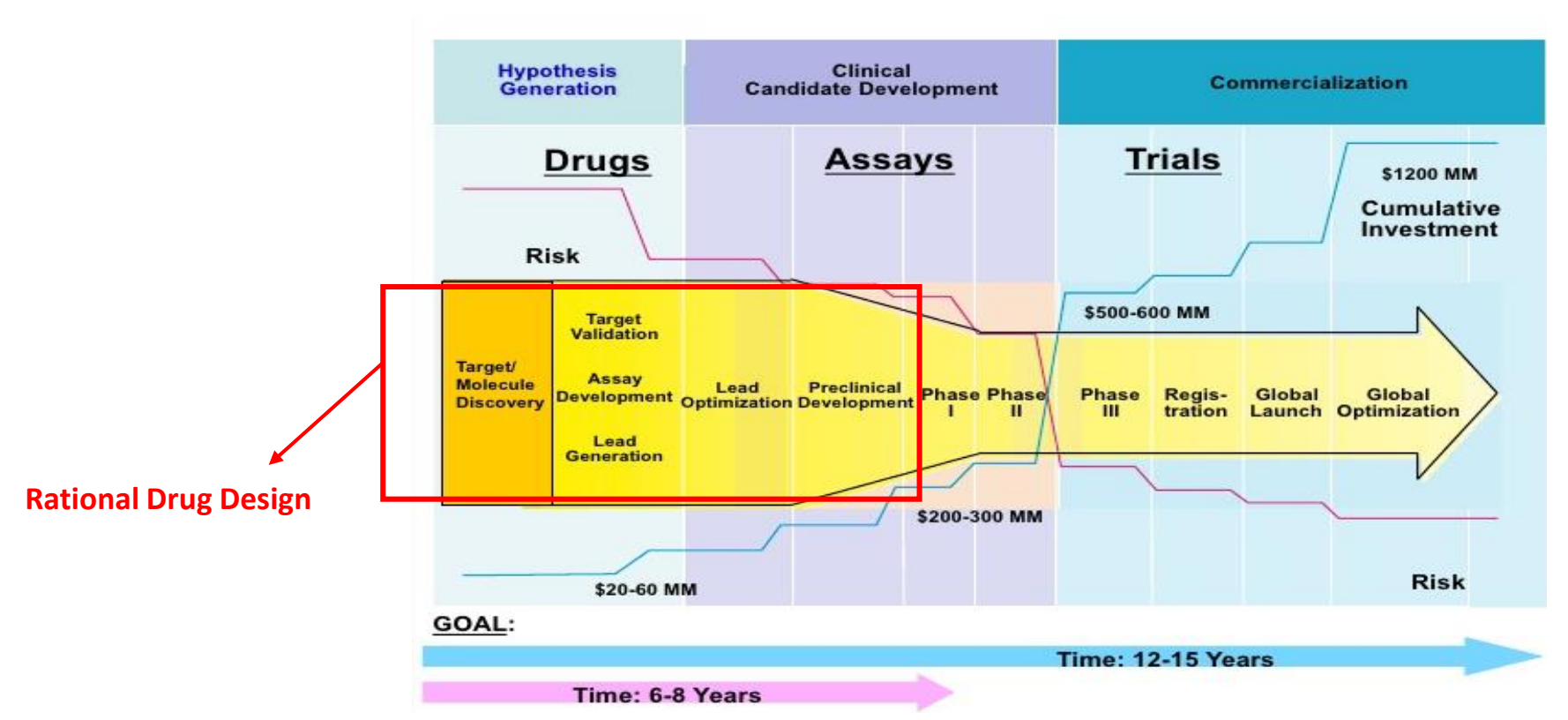
Equipe Structure et interactions des macromolécules, UR EGP, FS, USJ: Dr Zeina Hobaika

Plan

- Introduction générale
- Projets de recherché
- ❖ Inhibition de l'intégrase du VIH-1
- A. Introduction
- B. Système étudié
- C. Etude du mécanisme d'action des inhibiteurs DKAs
- D. Modélisation de nouveaux inhibiteurs dérivés
- **Conclusions générales et Perspectives**

Conception rationnelle de médicaments

Le développement de médicaments est une procédure longue (12-15 ans) et coûteuse (1 milliard d'euros).

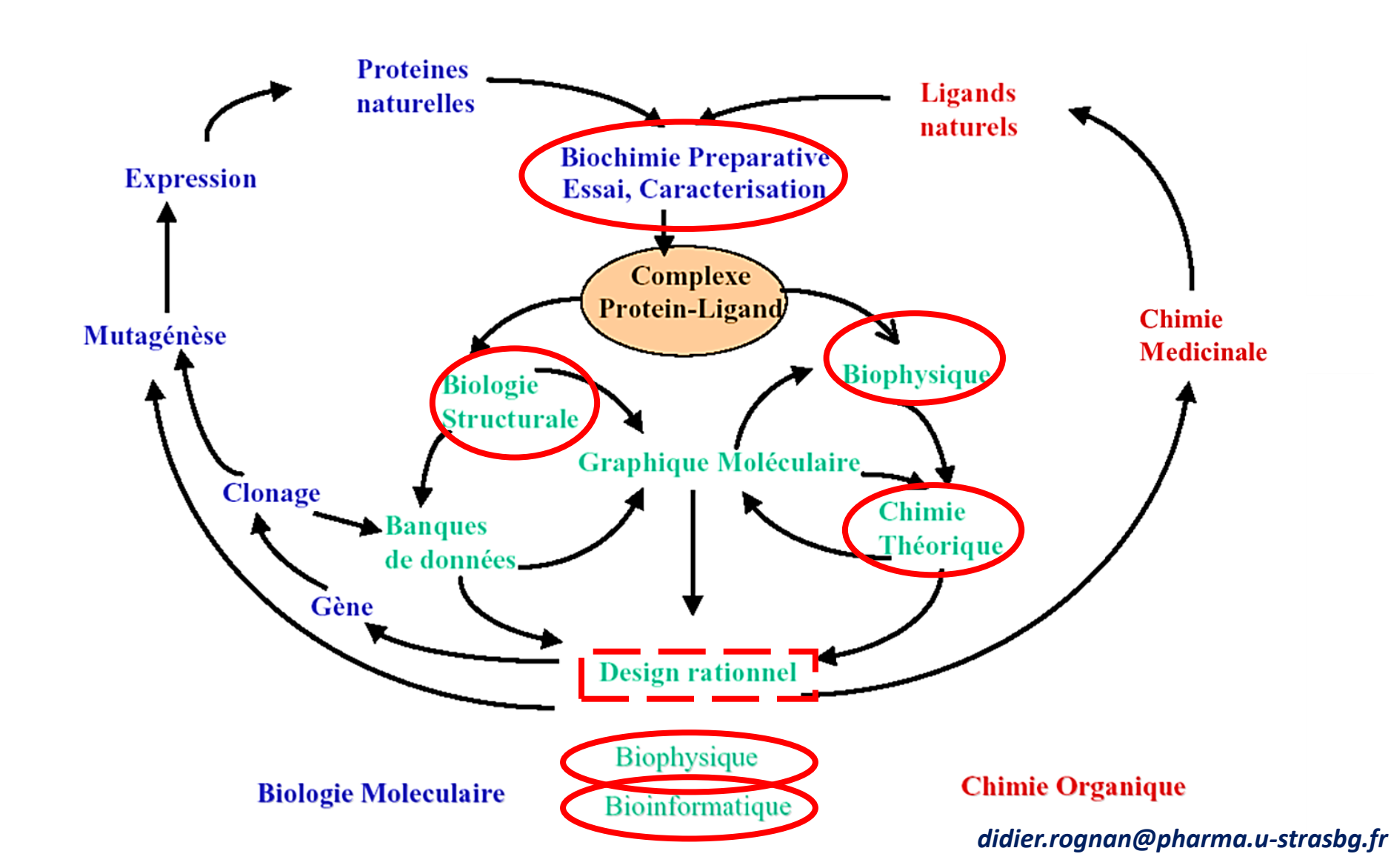


Robert H. LUCIE, 2011 16th Annual Drug Discovery Symposium

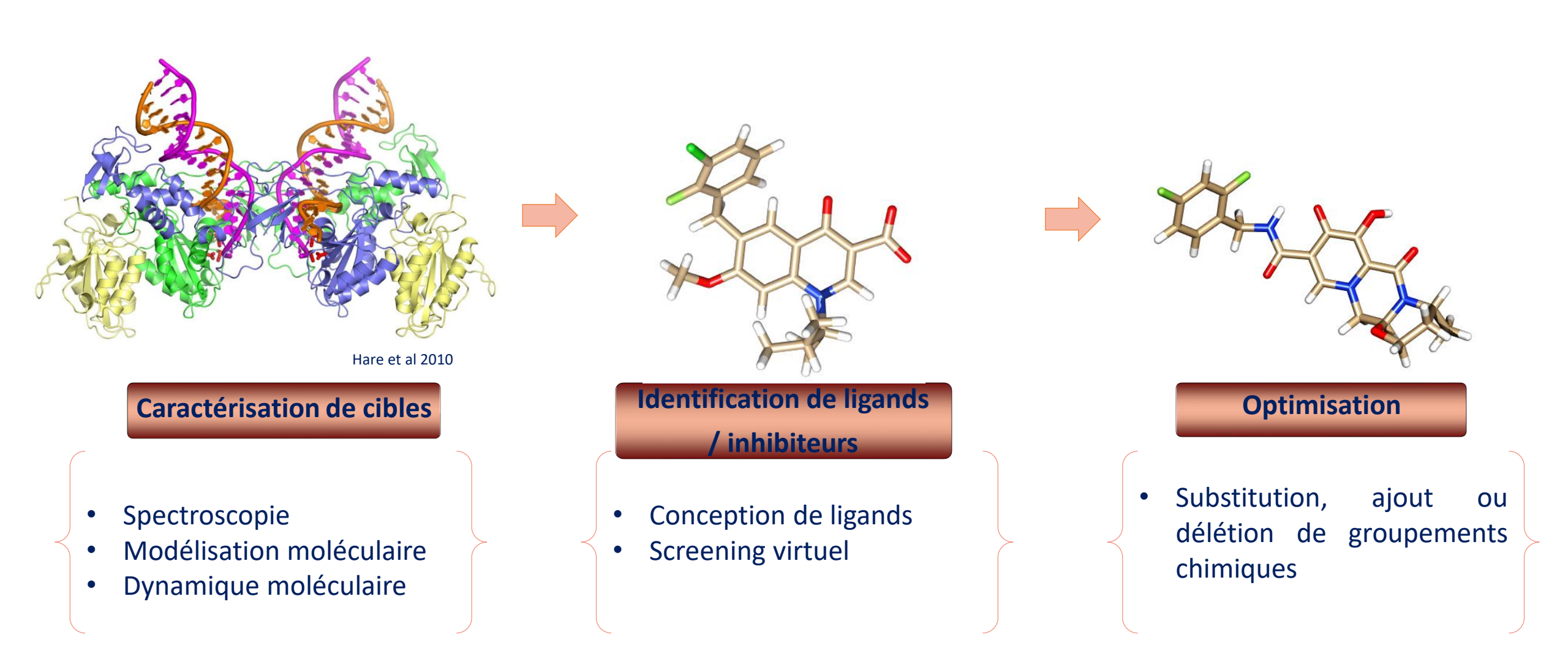
Effort de développer des médicaments sur une base la plus rationnelle possible, impliquant ainsi une réduction au strict minimum du facteur d'essai et d'erreur, diminuant ainsi la durée et le coût du

Etude clinique: la molécule est évaluée chéévithoppeme avant d'être mise sur le marché

Conception rationnelle de médicaments Approche multidisciplinaire

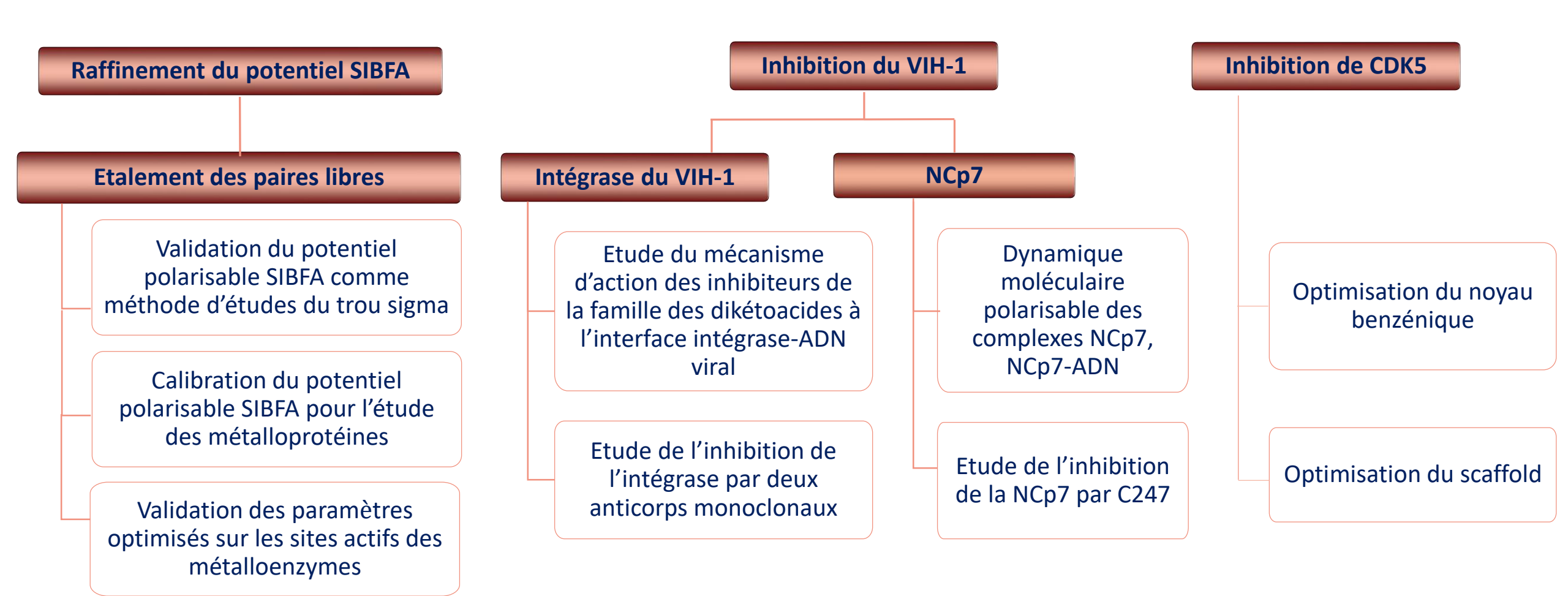


Stratégie de lutte contre les pathologies



Equipe Structure et interactions des macromolécules UR Environnement, Génomique et Protéomique Faculté des sciences, Université Saint-Joseph de Beyrouth

Projets de recherche

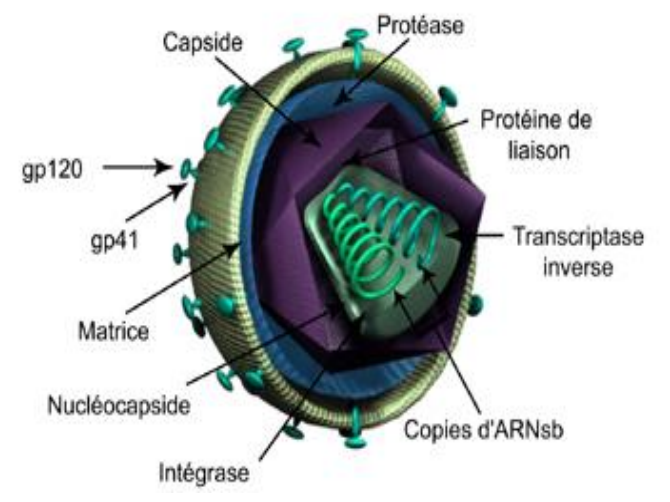


Plan

- Introduction générale
- Projets de recherche
- ❖ Inhibition de l'intégrase du VIH-1
- A. Introduction
- B. Système étudié
- C. Etude du mécanisme d'action des inhibiteurs DKAs
- D. Modélisation de nouveaux inhibiteurs dérivés
- Conclusions générales et Perspectives

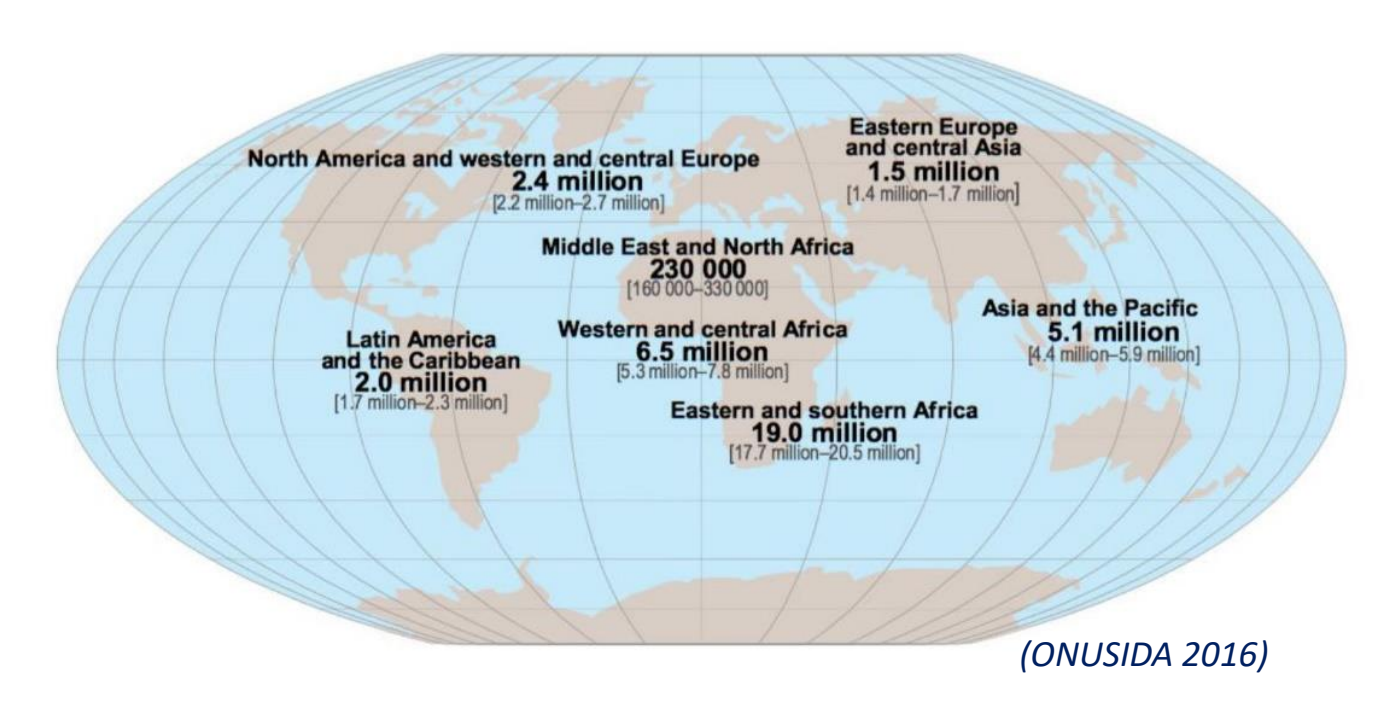
Le VIH-1

Structure



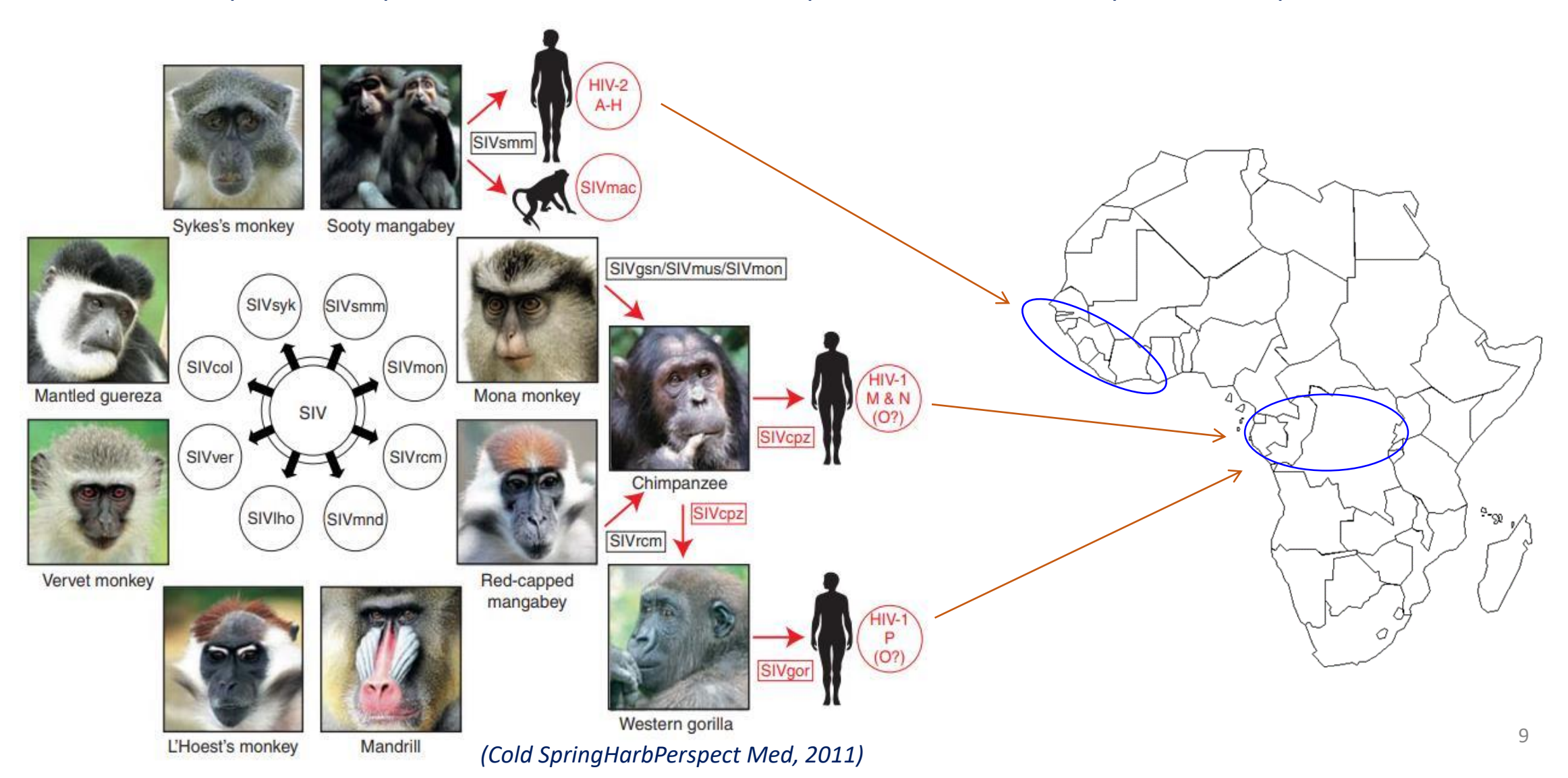


- SIDA: Syndrome de l'immunodéficience acquise
- ✓ 36,7 millions de personnes atteintes, 1 personne /17 s
- VIH-1: Virus de l'Immunodéficience Humaine-1
- ✓ Famille: Retroviridae
- ✓ Genre: Lentivirus



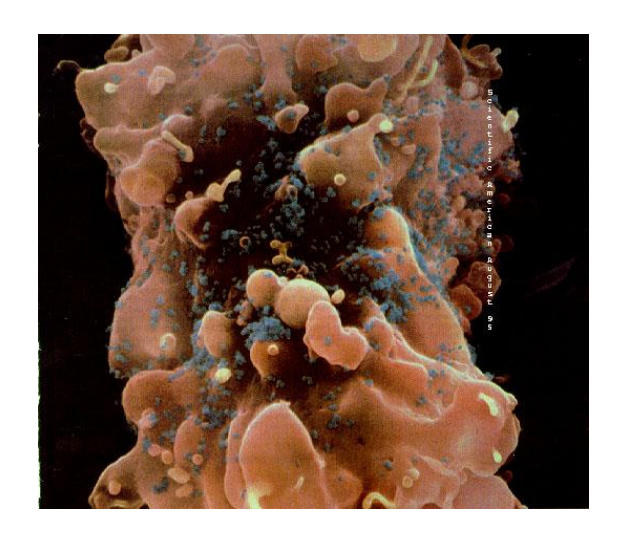
Origine du VIH-1

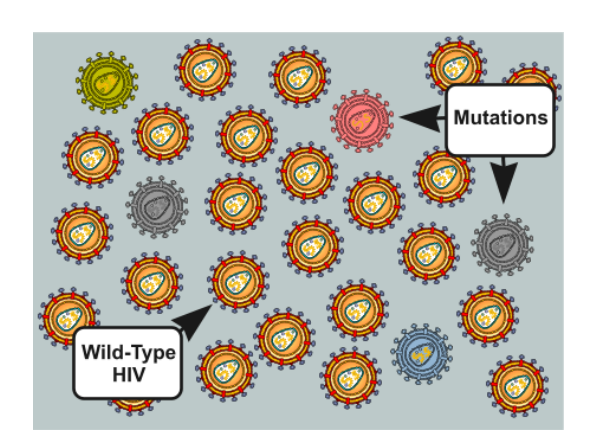
Les VIH-1 et 2 ont pénétré l'espèce humaine à travers de multiples infections zoonotiques des VIS-primates non humains



Diversité du VIH-1

- ❖ Taux de mutations élevé = 1 substitution/ génome/ cycle viral
- ❖ 7-30 recombinaisons / génome/ cycle viral
- Réplication rapide= **10**¹⁰ par jour par individu
- ❖ Infections HIV en 2015 = **34 x 10**⁶ individus
- Soit **10**¹⁷ virus par jour sur terre Presque tous différents!

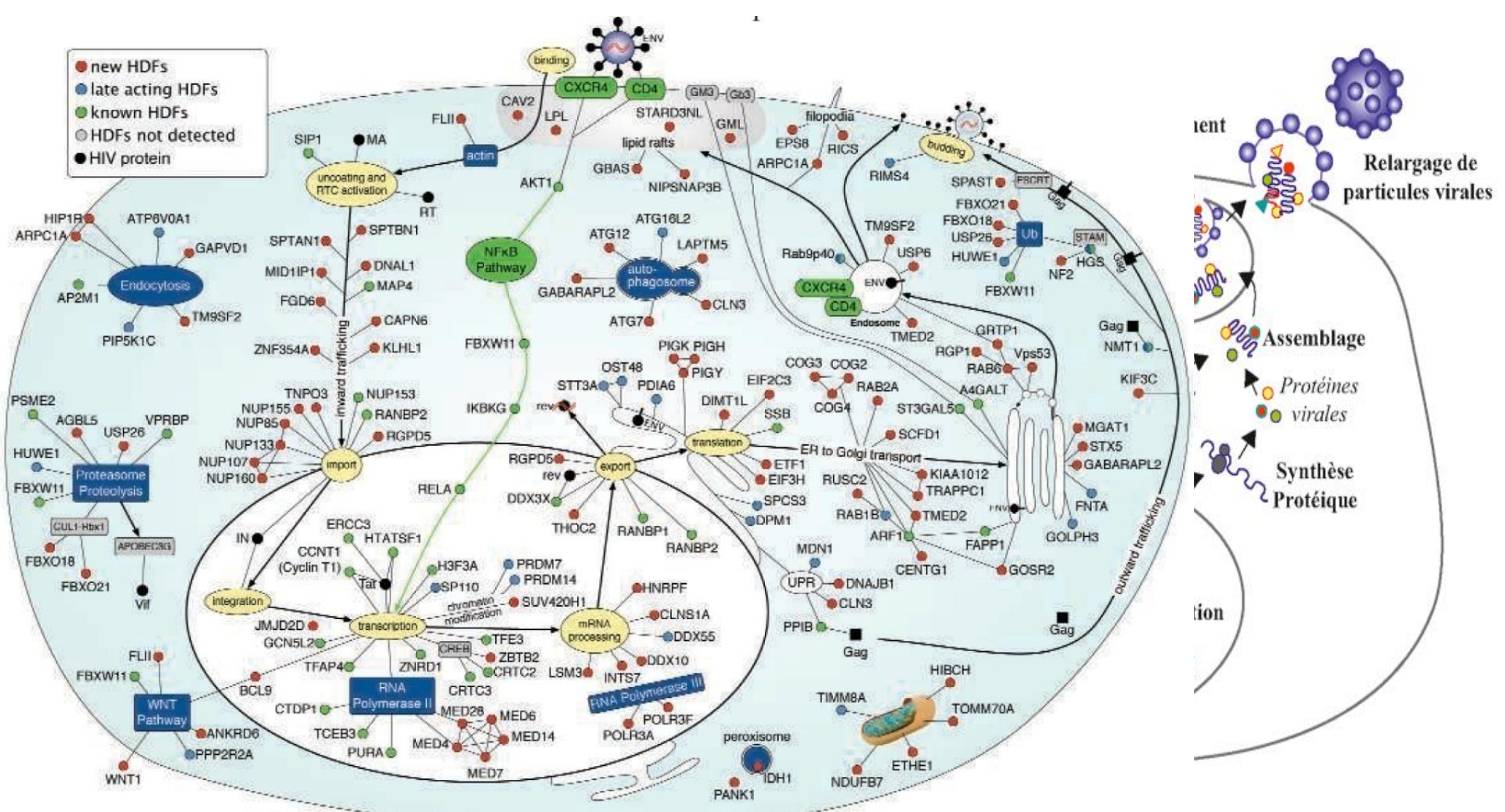




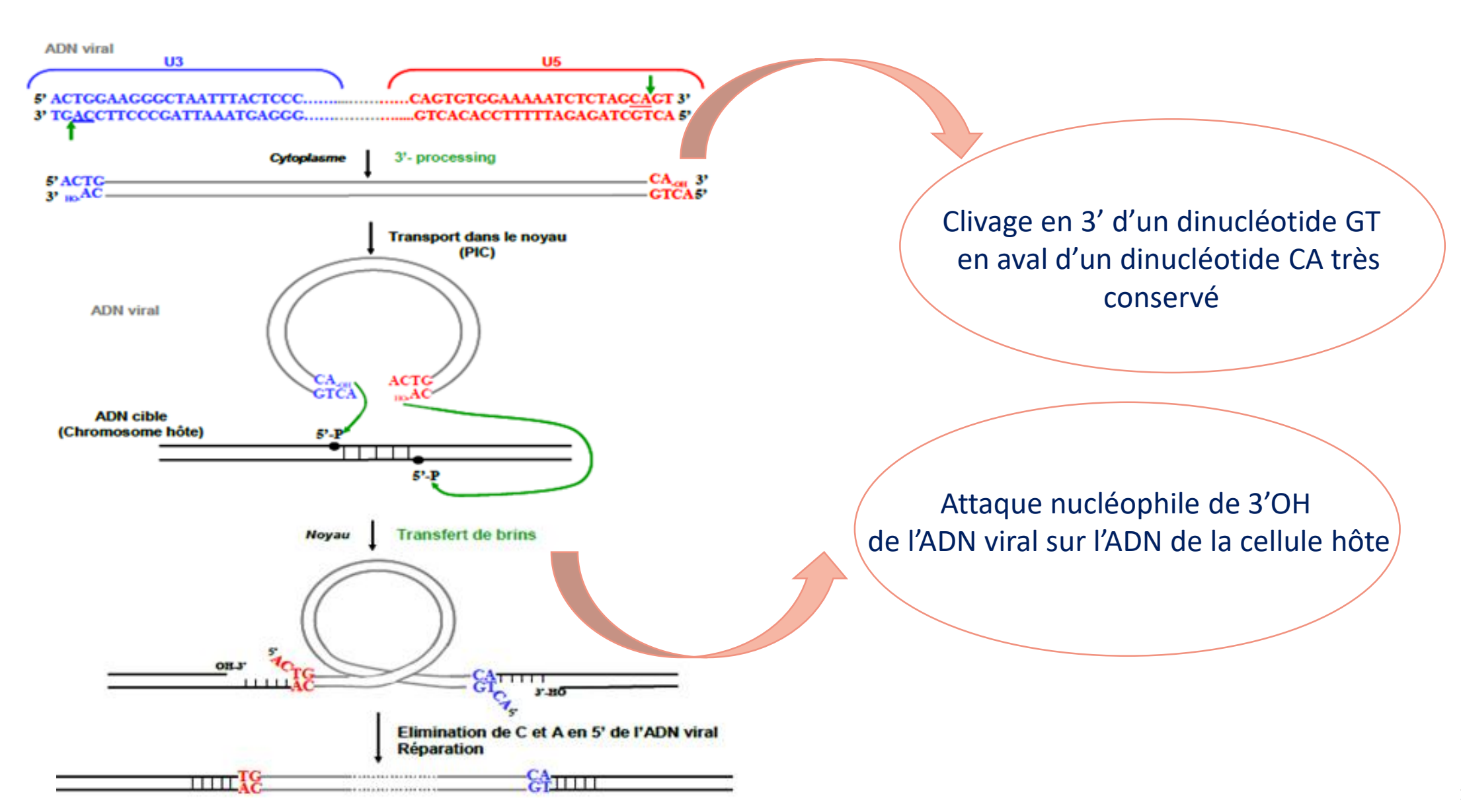
Réplication du VIH-1

Etapes du cycle ré

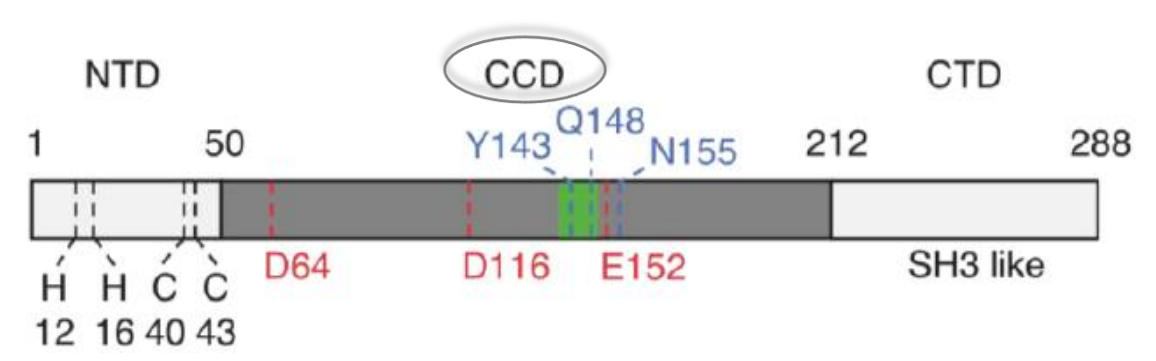
- Reconnaissan
- 2. Rétrotranscrip
- 3. Intégration de ARPCIA
- 4. Transcription
- 5. Formation de



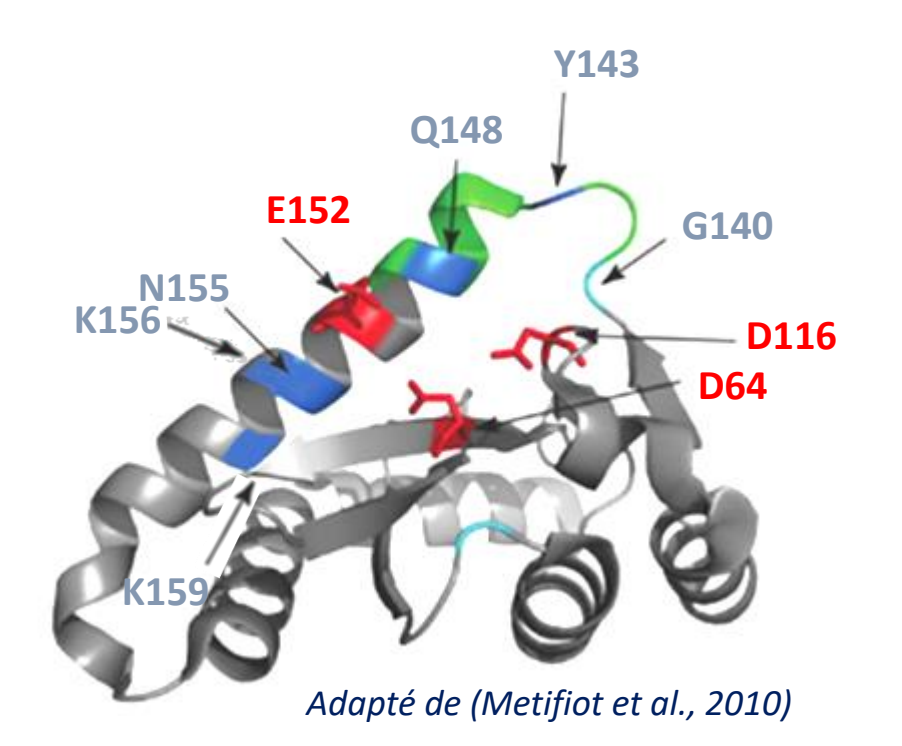
La réaction d'intégration



Structure de l'intégrase



288 acides aminés 4153 atomes



- L' ADN viral

 L'hélice α4 interagit avec

 Les inhibiteurs DiKetoAcides (DKA)
- Boucle 140 : site d'interaction avec les DKA
- Hélice α5: multimérisation de l'intégrase, interaction avec LEDGF
- Hélices α4-début α5 : site d'interaction avec des anticorps monoclonaux

Objectifs

- L'intégrase (IN) cruciale pour la réplication du VIH-1
- Pas de contreparties cellulaires de IN

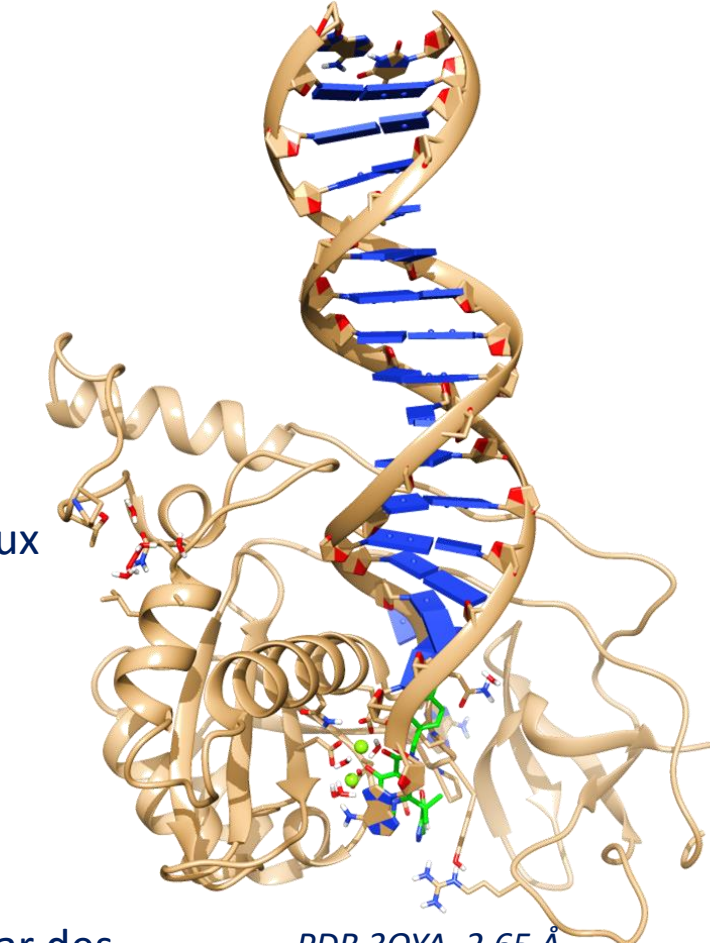
Le cœur catalytique de IN → Site d'interaction avec l'ADN viral Site d'interaction avec les anticorps monoclonaux

Contribuer aux thérapies anti-intégrase du VIH-1

Site d'interaction avec les DKA

Inhibition de IN par les DKA

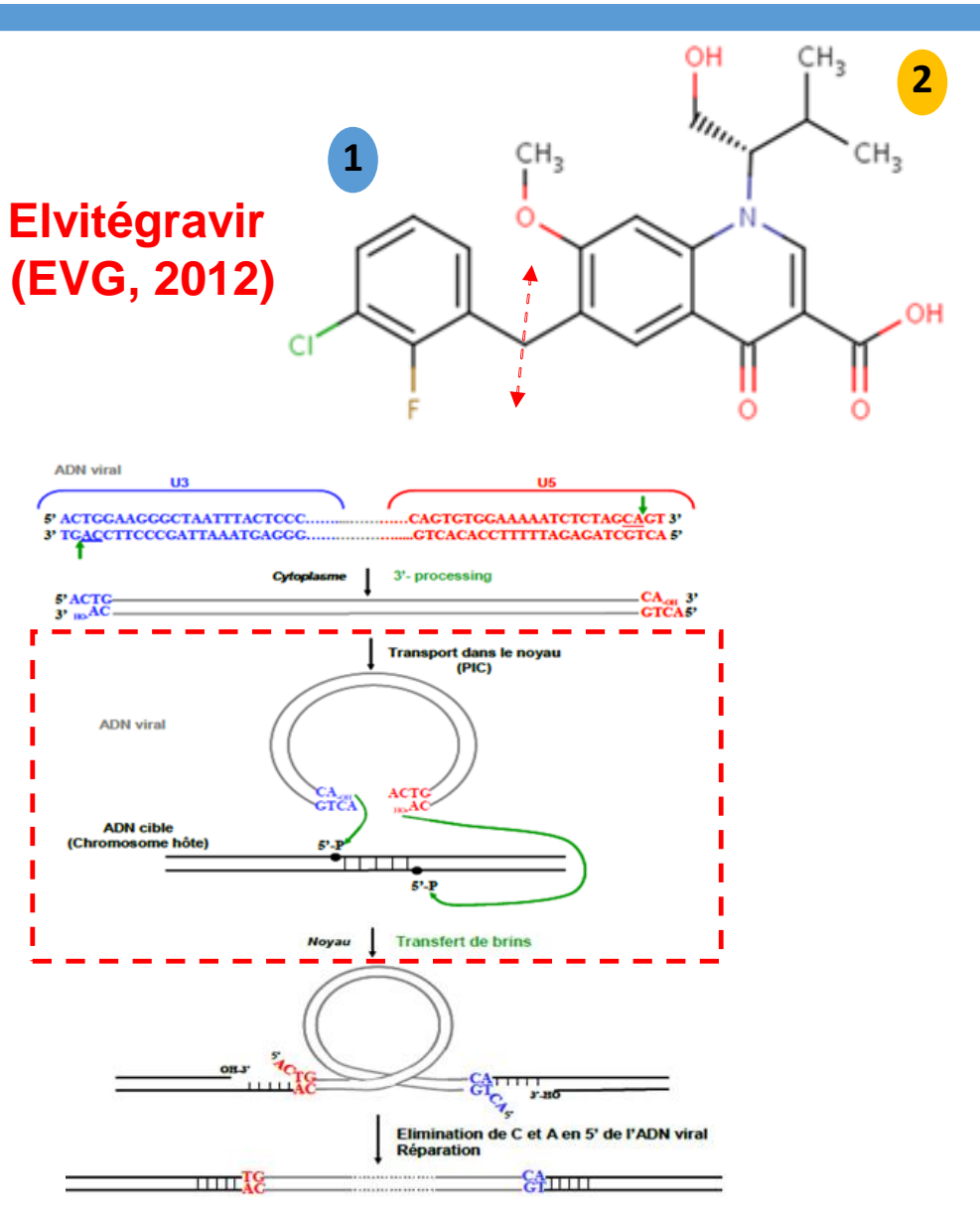
Inhibition de IN par des anticorps monocolonaux PDB 30YA, 2.65 Å



Les inhibiteurs Dikétoacides

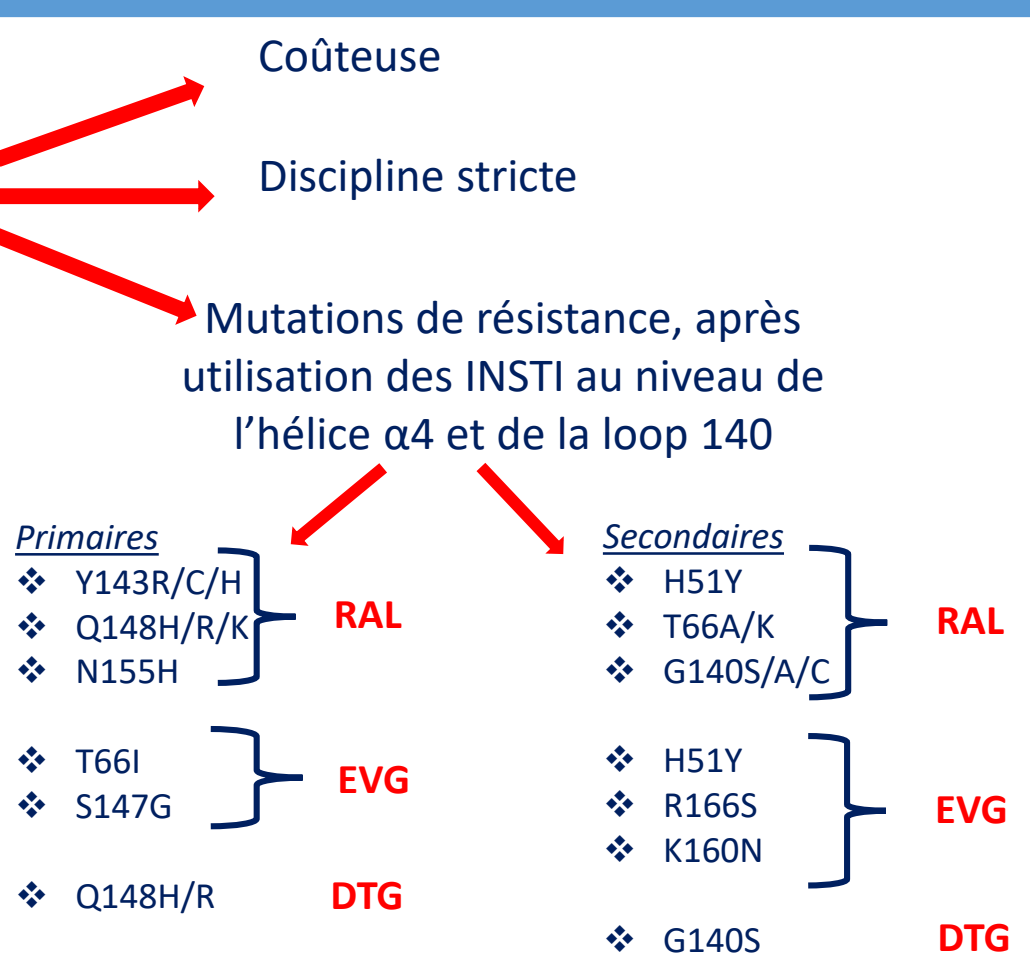
Les inhibiteurs de l'étape de transfert de brin (INSTI)

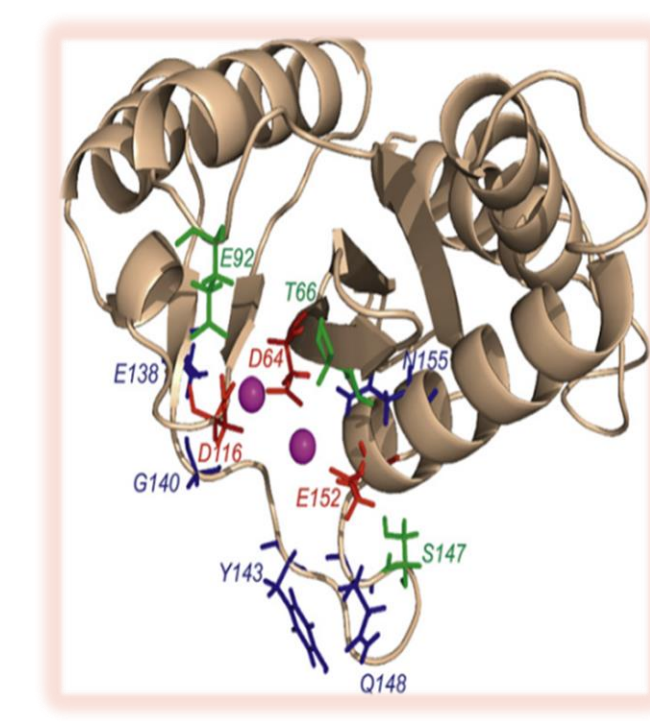
- Halobenzène
- 2 Dicétone
- Oxadiazole



Emergence de résistance

Multithérapie
 Cocktail d'inhibiteurs de plusieurs
 cibles du cycle réplicatif du VIH-1





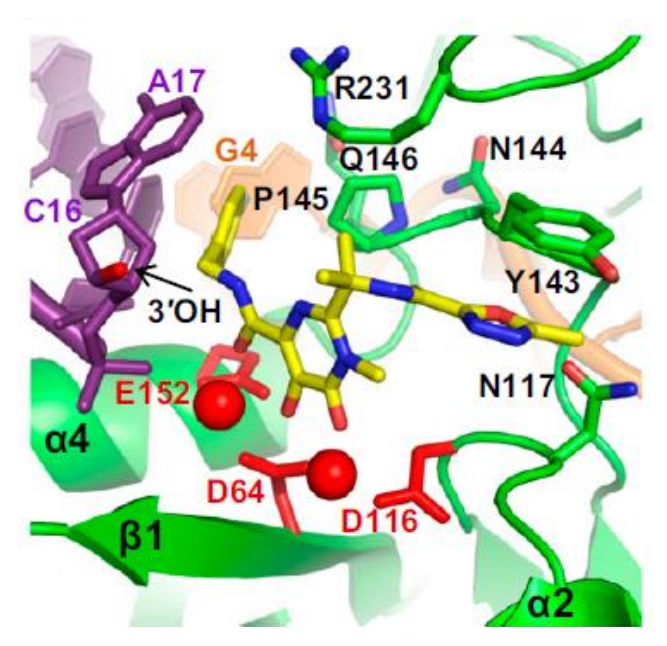
(Mouscadet et al., 2010)

Dolutégravir est moins sensible aux mutations

Plus efficace que RAL et EVG

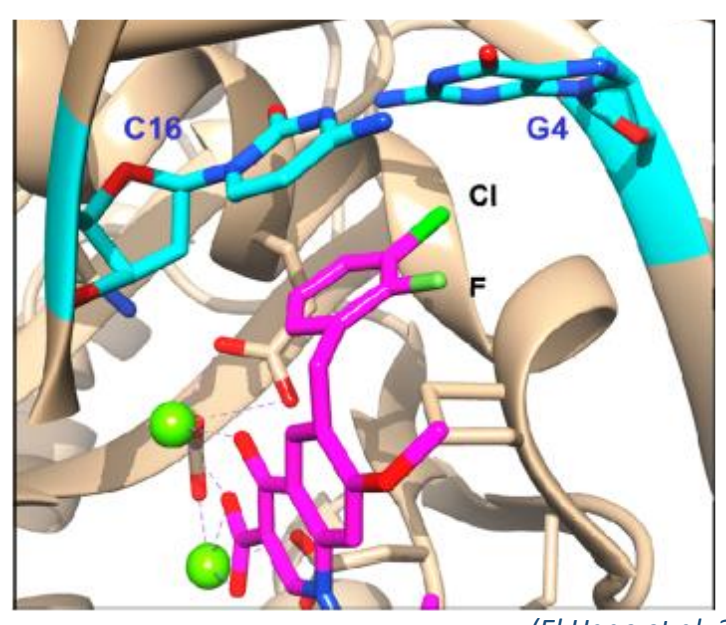
Stratégie de recherche

Investir le mode d'action des INSTI



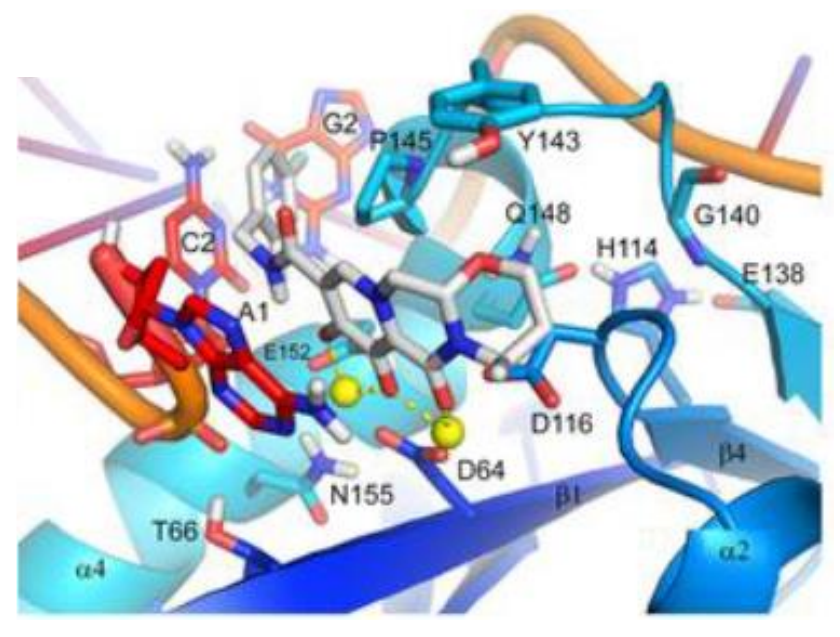
(Krishnan et al, 2010)

Integrase du VIH-1 (vert) complexée avec RAL (jaune et bleu); ADN viral est en mauve



(El Hage et al, 2014)

Integrase du VIH-1 (beige) complexée avec EVG (magenta); ADN viral est en bleu et rouge



(El Khoury et al, 2017)

Integrase du VIH-1 (bleu) complexée avec DTG (gris); ADN viral est en bleu et rouge

- ✓ Comment expliquer l'inhibition préférentielle des DKA de l'étape de transfert de brins
- ✓ Est-ce que l'efficacité accrue de DTG serait due à une meilleure affinité à l'ADN viral?
- ✓ Proposition de dérivés plus affins à l'ADN viral que les DKA actuels, afin de surmonter le problème de résistance 17

Plan

- Introduction générale
- Projets de recherche
- Inhibition de l'intégrase du VIH-1
- A. Introduction
- B. Système étudié
- C. Etude du mécanisme d'action des inhibiteurs DKAs
- D. Modélisation de nouveaux inhibiteurs dérivés
- **Conclusions générales et Perspectives**

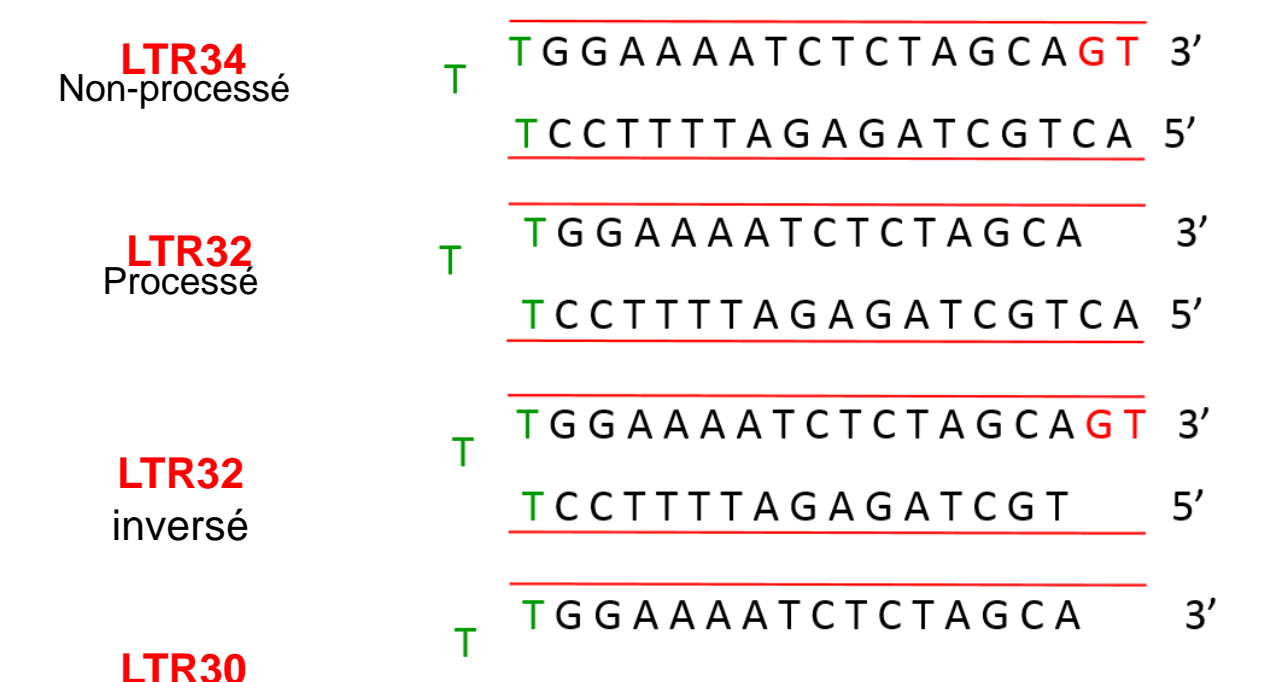
Eléments du système

5,

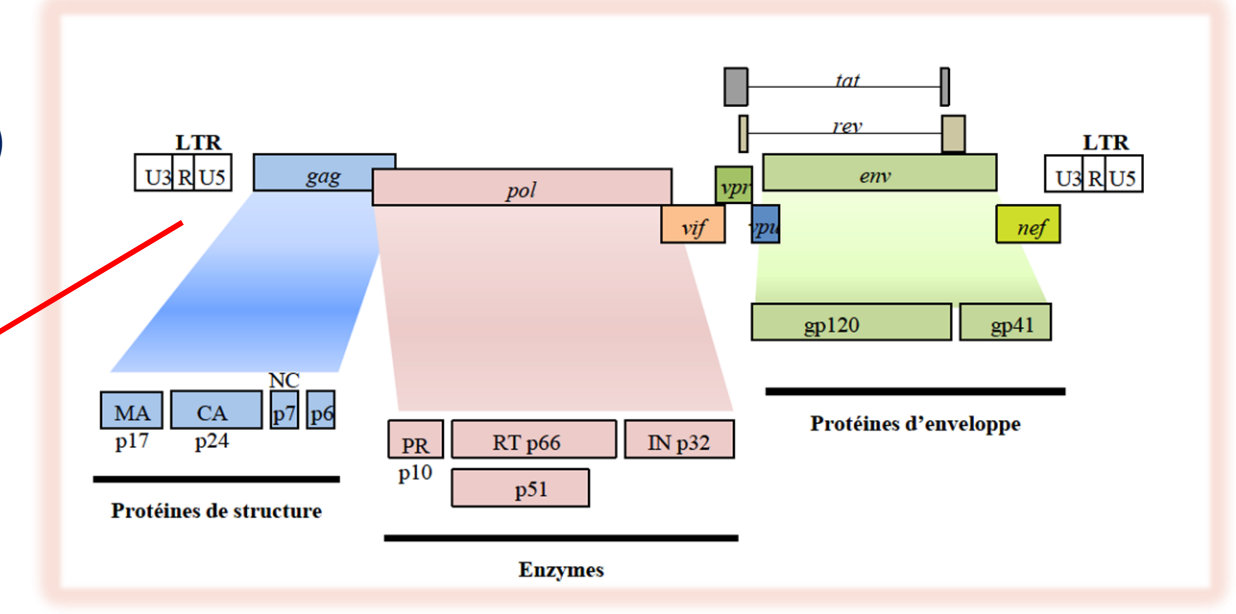
Anisotropie de fluorescence

Thermodynamique des interactions, Quantifications (10⁻⁸-10⁻⁹ M)

1. Oligonucléotides



TCCTTTTAGAGATCGT



2. Inhibiteurs de transfert de brin:

Raltégravir

Elvitégravir

Dolutégravir

Le potentiel SIBFA Un champ de force polarisable

Gresh et al. Anisotropic, polarizable molecular mechanics studies of inter-, intra-molecular interactions, and ligand-macromolecule complexes.

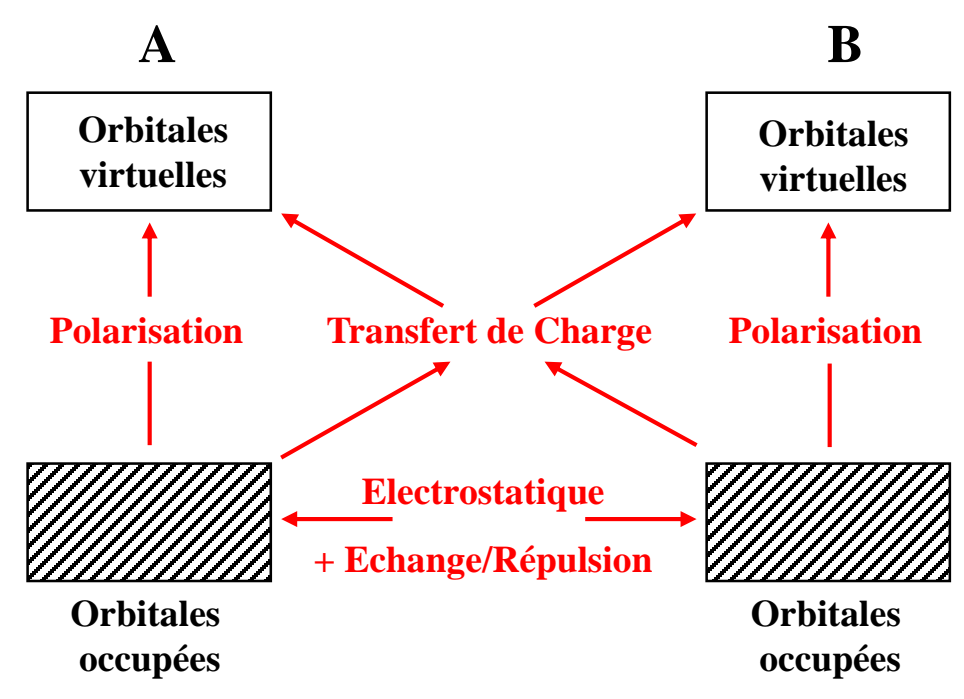
A bottom-up strategy. J. Chem. Theor. Comput. 2007, 3, 1960)

SIBFA (Sum of Interaction Between Fragments Ab-initio computed)

ΔE est calculée comme étant la somme de cinq contributions séparées, ayant chacune une équivalente QC :

$$\Delta E_{TOT} = E_{MTP^*} + E_{rep} + E_{pol} + E_{ct} + E_{disp}$$

- **E**_{MTP}: énergie électrostatique
- **E**_{rep}: énergie de répulsion
- E_{pol}: énergie de polarisation
- E_{ct}: énergie de transfert de charge
- **E**_{disp}: énergie de dispersion



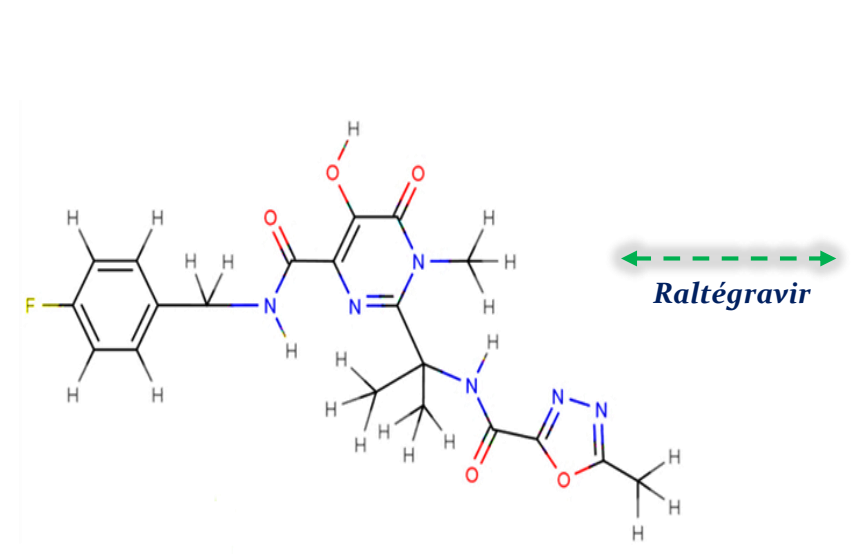
Le potentiel SIBFA

Procédure

Gresh et al. J. Chem. Theor. Comput. 2007, 3, 1960

1- Fragmentation et Assemblage des protéines, des ADNs, et des ligands

- a. Fragmentation
- b. Obtention pour les fragments moléculaires et par la chimie quantique de Multipôles (*charges, dipôles et quadrupôles*) et de Polarisabilitiés distribués sur les atomes et les milieux des liaisons
- c. Assemblage de la molécule « Lego moléculaire »



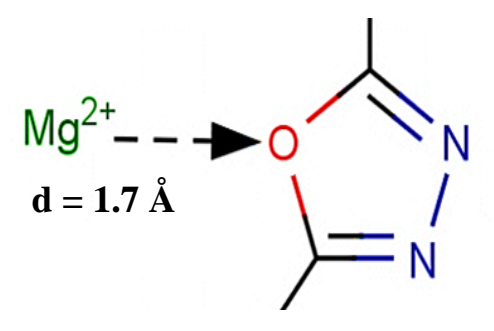
Le potentiel SIBFA

Procédure

Gresh et al. J. Chem. Theor. Comput. 2007, 3, 1960

2- Paramétrisation

- a. Sondes:
- H₂O : molécule dipolaire
- Mg²⁺ : la charge 2+ pour amplifier les effets électroniques



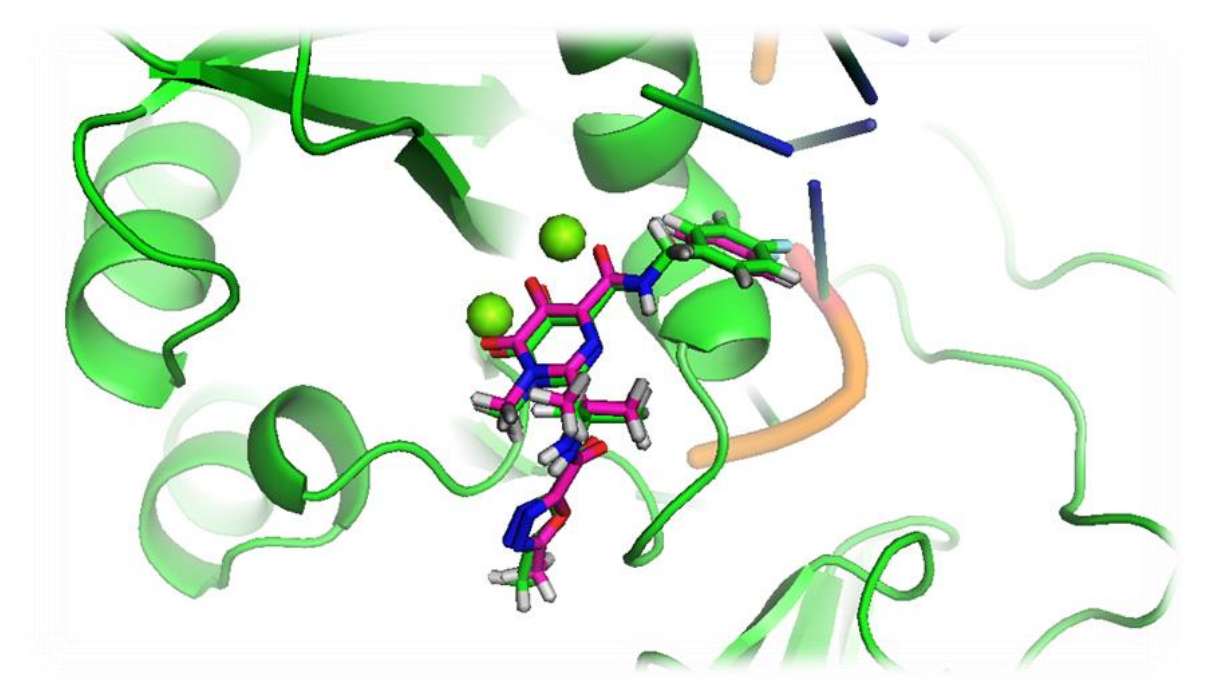
ΔE (kcal/mol)	$\mathbf{E}_{\mathbf{MTP}}$	$\mathbf{E_{ren}}$	$\mathbf{E}_{\mathbf{pol}}$	$\mathbf{E}_{\mathbf{ct}}$	E _{TOT}
RVS	-47.8	58.3	-83.2	-2.5	-75.5
SIBFA	-48.6	58.0	-84.6	-0.5	-75.6

Le potentiel SIBFA

Procédure

Gresh et al. J. Chem. Theor. Comput. 2007, 3, 1960

3- Construction et Validation du modèle par superposition de sa structure à la structure obtenue par cristallographie ou par RMN



PDB 3OYA (3.15 Å)

Amarrage du Raltégravir dans le site actif de l'intégrase du VIH-1 (SIBFA en rose/PDB en vert)

Plan

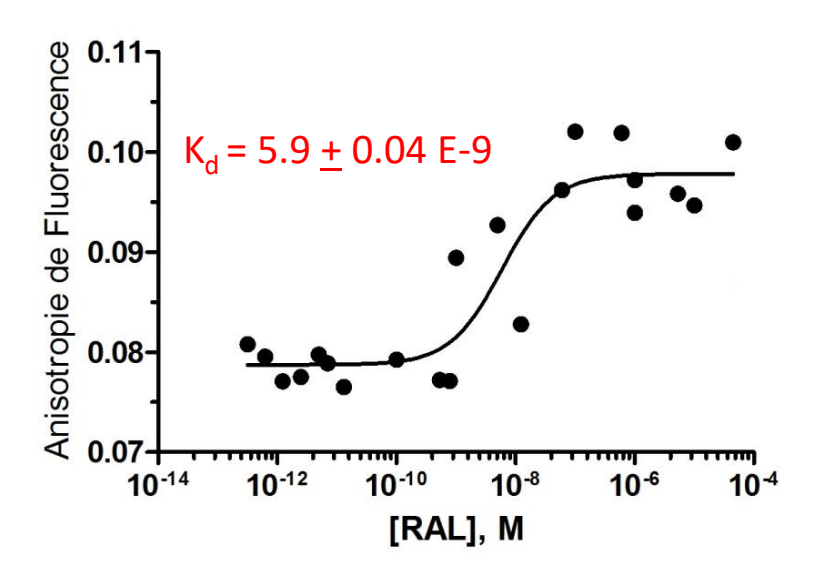
- Introduction générale
- Projets de recherche
- Inhibition de l'intégrase du VIH-1
- A. Introduction
- B. Système étudié
- C. Etude du mécanisme d'action des inhibiteurs DKAs
- D. Modélisation de nouveaux inhibiteurs dérivés
- Conclusions générales et Perspectives

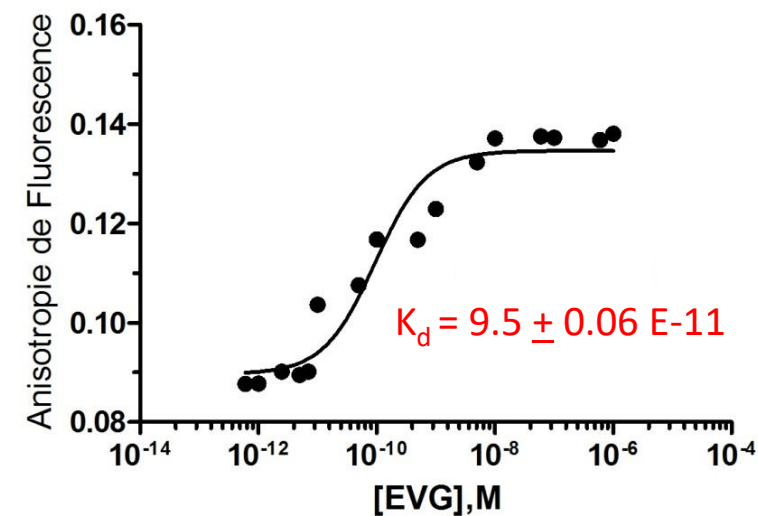
Résultats

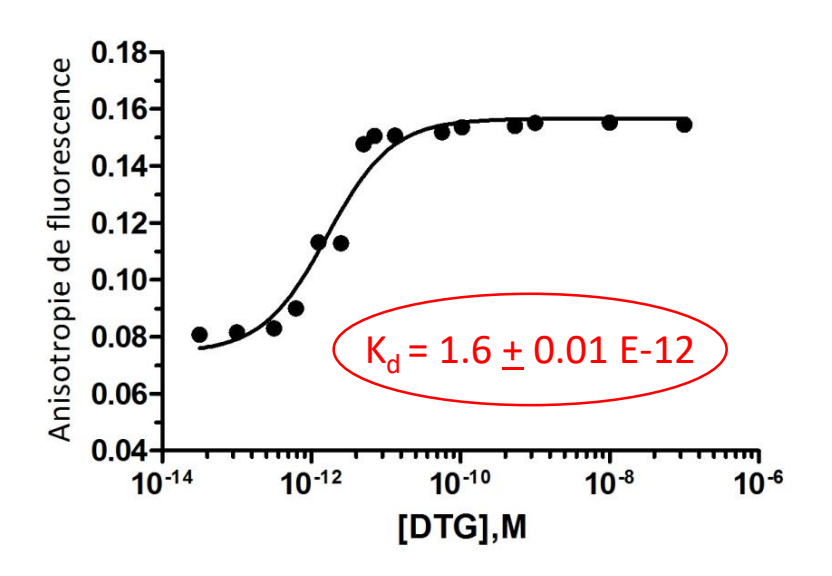
- a. Caractérisation de l'interaction des DKAs avec l'ADN viral
- b. Détermination des sites d'interaction des DKAs avec l'ADN viral

Caractérisation de l'interaction des dikétoacides avec l'ADN viral

Interactions ADN processé (LTR32)-DKAs









RAL, EVG et DTG reconnaissent l'ADN viral processé avec des affinités spécifiques



K_d de LTR32-DTG est le plus bas → DTG présente la meilleure affinité envers l'ADN viral processé

Caractérisation de l'interaction des dikétoacides avec l'ADN viral

Interactions ADN processé-DKAs

Anisotropie de fluorescence

ΔG= -R T In Kéq

 $\Delta G = \Delta H - T\Delta S$

TΔS				
4.09				
4.24				
4.39				
Les valeurs des paramètres ΔG, ΔH et TΔS sont en kcal/mol				
Les températures sont exprimées en Kelvin				

Tableau II. Paramètres thermodynamiques de l'interaction Elvitégravir-LTR32			
	<u>ΔG</u>	<u>ΔH</u>	<u>ΤΔS</u>
Température			
278	-12.266	-16.353	4.087
288	-12.479	-16.713	4.234
298	-12.564	-16.941	4.381
Les valeurs des paramètres ΔG, ΔH et TΔS sont en kcal/mol			
Les températures sont exprimées en Kelvin			

Tableau III. Paramètres thermodynamiques de l'interaction Dolutégravir-LTR32					
	ΔG	ΔΗ	TΔS		
Température	<u>ΔG</u>	ΔΠ	1Д5		
romporataro					
278	-14.43	-18.50	4.07		
288	-14.66	-18.88	4.22		
298	-14.72	-19.08	4.37		
Les valeurs des paramètres ΔG , ΔH et $T\Delta S$ sont en kcal/mol					
Les températures sont exprimées en Kelvin					



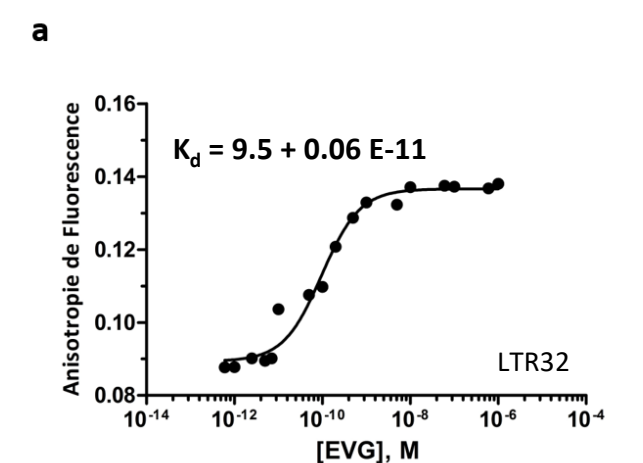
- ΔH plus favorable que ΔG
- \circ TΔS = constant pour RAL, EVG et DTG
- Δ H / Δ G compris entre 1,3 et 1,4

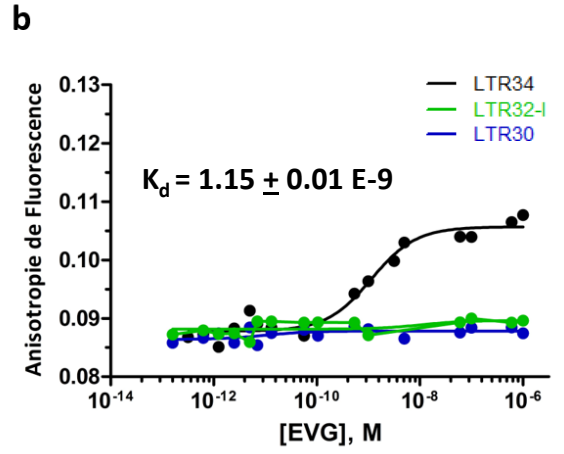


La contribution enthalpique est celle qui régit la complexation d'un DKA à l'ADN viral

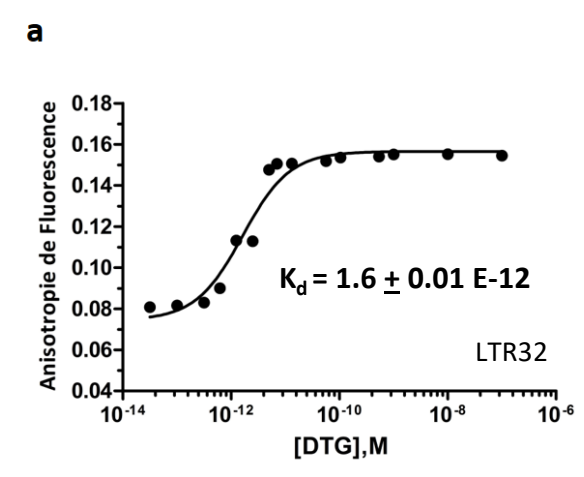
Détermination des sites d'interaction des DKAs avec l'ADN viral

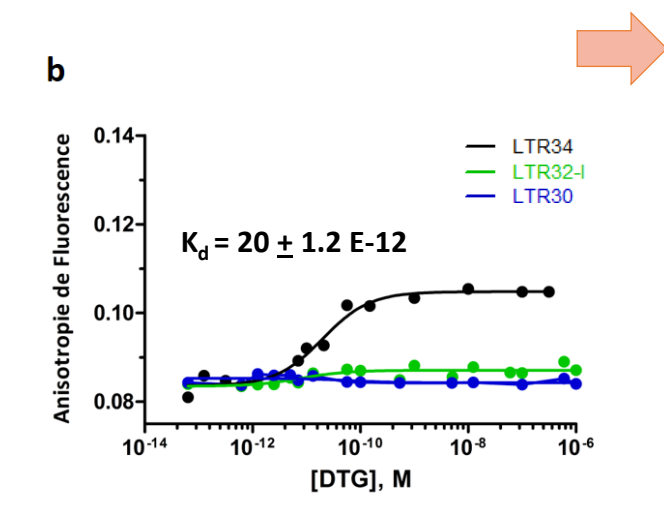
Interactions ADN viral-EVG





Interactions ADN viral-DTG

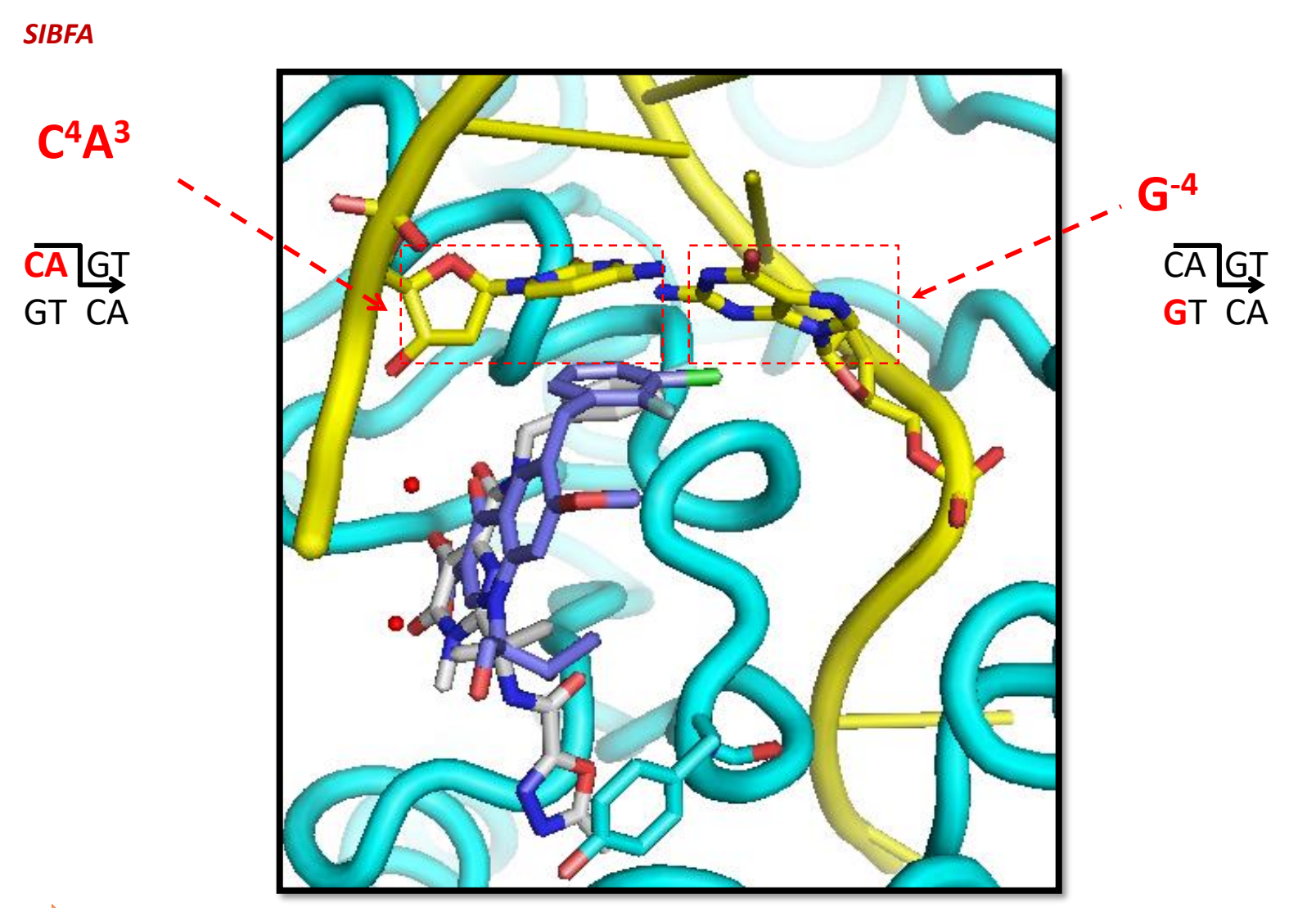


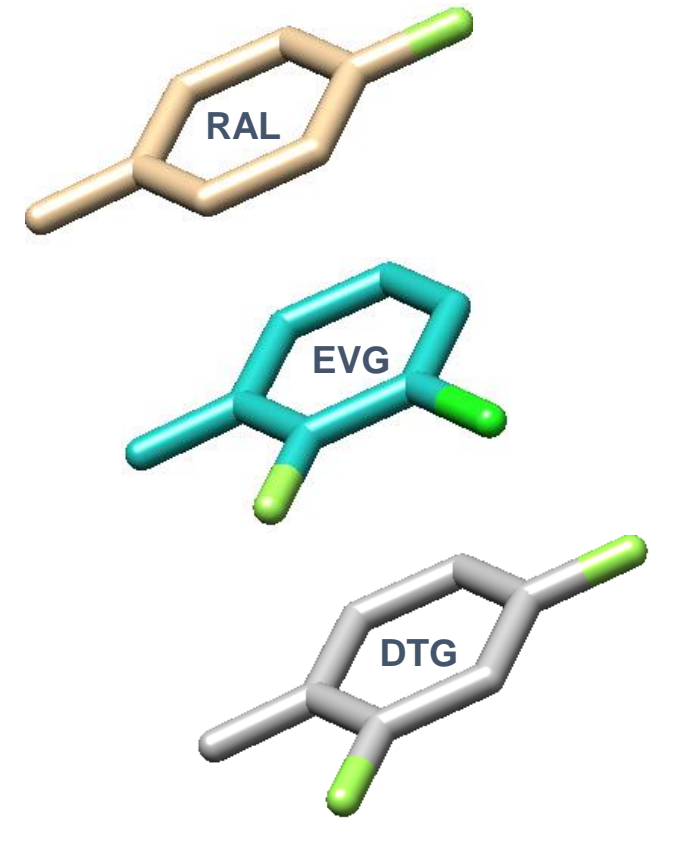


		-1 -2 -3 -4 4 3 2 1	
LTR34:	(-)5'	ACTGCTAGAGATTTTCCTTTGGAAAATCTCTAGCAGT	3'(+)
LTR32:	(-)5′	ACTGCTAGAGATTTTCCTTTGGAAAATCTCTAG <mark>CA</mark>	3'(+)
LTR32-I:	(-)5′	TGCTAGAGATTTTCCTTTGGAAAATCTCTAG <mark>CA</mark> GT	3'(+)
LTR30:	(-)5'	TGCTAGAGATTTTCCTTTGGAAAATCTCTAGCA	3'(+)

- L'affinité la plus élevée de DTG et de EVG est pour LTR32
- Le rôle clé de $d(A^{-1}C^{-2})_2$ pour la liaison des INSTIS aux LTRs
- L'implication directe de d(T₁G₂)₂ dans l'interaction des INSTIs avec les extrémités de l'ADN viral
- Résultats en accord avec les données structurales des rayons X sur les liaisons de EVG / DTG au sein de l'intasome entier
- Résultats cohérents avec l'étude réalisée avec RAL, (Ammar et al, 2012)

Détermination des sites d'interaction des DKAs avec l'ADN viral





- F (RAL) en para
- F (EVG) en ortho et Cl (EVG) en méta
- ❖ 2F (DTG) en ortho et para



Détermination des sites d'interaction des DKAs avec l'ADN viral

SIBFA

Interaction des halobenzènes des DKAs avec G⁻⁴ et C⁴ de l'ADN viral processé au sein de l'intasome

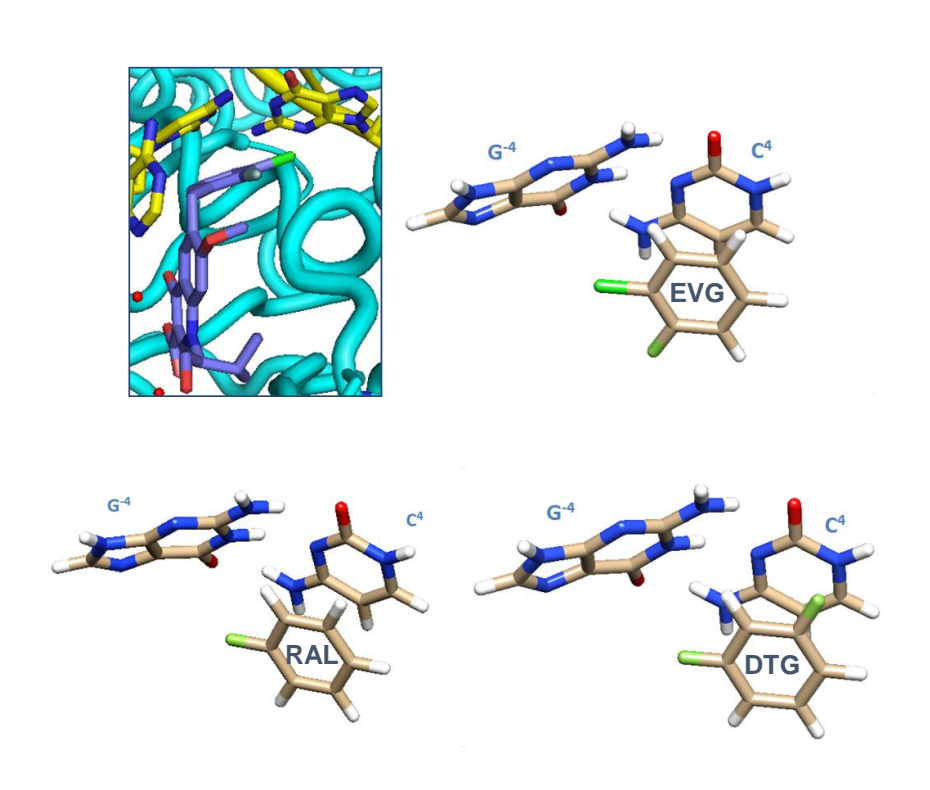


Table IV. Les interactions au niveau du site de reconnaissance ADN-DKA							
	Raltegravir		Elvite	Elvitegravir		Dolutegravir	
	QC	SIBFA	QC	SIBFA	QC	SIBFA	
Es/E _{MTP*}	-26.1	-31.6	-32.4	-33.2	-34.7	-35.2	
Ex/E _{rep}	23.7	27.8	30.6	25.1	29.0	27.3	
E ₁	-2.4	-3.8	-1.8	-8.1	-5.7	-7.9	
E _{pol}	-4.3	-7.0	-2.7	-6.5	-7.6	-6.3	
Ect	-3.3	-3.4	-4.2	-2.8	-4.4	-2.9	
E _{ct*}	-1.9	-3.4	-2.9	-2.8	-2.9	-2.9	
ΔΕ	-12.2	-14.2	-14.3	-17.4	-18.6	-17.1	
ΔΕ*	-10.8	-14.2	-13.1	-17.4	-17.4	-17.1	
E _{disp}	-17.4	-17.5	-18.4	-18.1	-16.3	-19.9	
ΔE _{tot} ^a	-29.5	-31.7	-32.8	-35.5	-34.9	-37.0	

Les valeurs des énergies d'interaction QC et SIBFA et leurs contributions sont en kcal/mol

 Δ E*: l'énergie d'interaction intermoléculaire corrigée par l'erreur de la superposition de base (BSSE)

a La fonctionnelle B97-D



L'halobenzène de DTG affiche les interactions les plus favorables avec les bases terminales C⁴ et G⁻⁴ de l'ADN viral processé



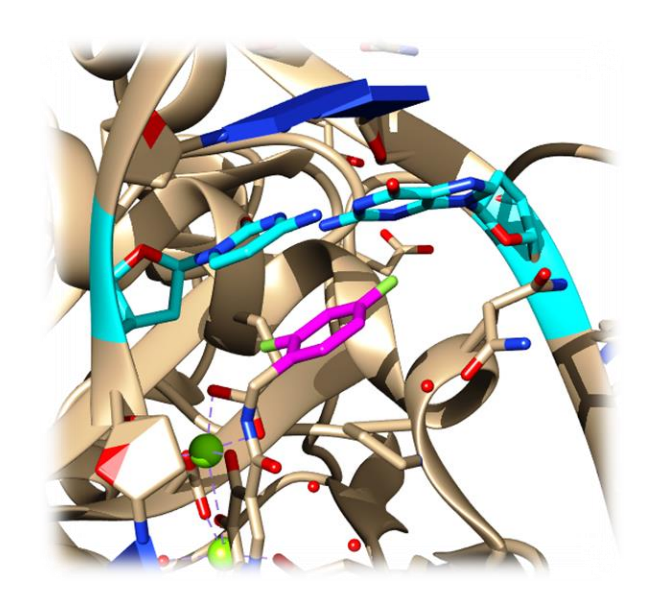
Résultats en accord avec ceux expérimentaux trouvés en anisotropie de fluorescence

Conclusions

- Affinité élevée des trois inhibiteurs pour l'ADN viral du VIH-1, particulièrement après l'étape du 3'Processing
- L'interaction DKA-ADN viral est régie par la composante enthalpique ΔΗ
- Les énergies d'interaction en parfait accord avec les données bibliographiques et les résultats cliniques
- ❖ L'affinité la plus importante entre DTG et l'ADN viral processé → Efficacité accrue comparée à celles de RAL et EVG
- Arr Implication directe des $d(A^{-1}C^{-2})_2$ et $d(T_1G_2)_2$ dans l'interaction avec les DKAs
- L'interaction la plus spécifique entre l'halobenzène du DTG et les bases terminales C⁴ et G⁻⁴ situées aux extrémités de l'ADN viral



Meilleure spécificité de DTG



Plan

- Introduction générale
- Projets de recherche
- Inhibition de l'intégrase du VIH-1
- A. Introduction
- B. Système étudié
- C. Etude du mécanisme d'action des inhibiteurs DKAs
- D. Modélisation de nouveaux inhibiteurs dérivés
- Conclusions générales et Perspectives

Résultats

a. Conception de nouveaux noyaux halobenzéniques

b. Caractérisation de l'interaction des noyaux dérivés avec l'ADN viral

Stratégie de conception

Conception de nouveaux noyaux halobenzéniques d'affinités augmentées à l'ADN viral sur la base du modèle de DTG, à partir de substitutions



Modélisation du complexe ternaire ; noyau substitué + C⁴ +G⁻⁴





Etude qualitative de l'interaction des trois partenaires

Etude quantitative de l'interaction des trois partenaires



Visualisation des interactions non covalentes (NCI)



Calcul de l'énergie d'interaction du complexe par chimie quantique

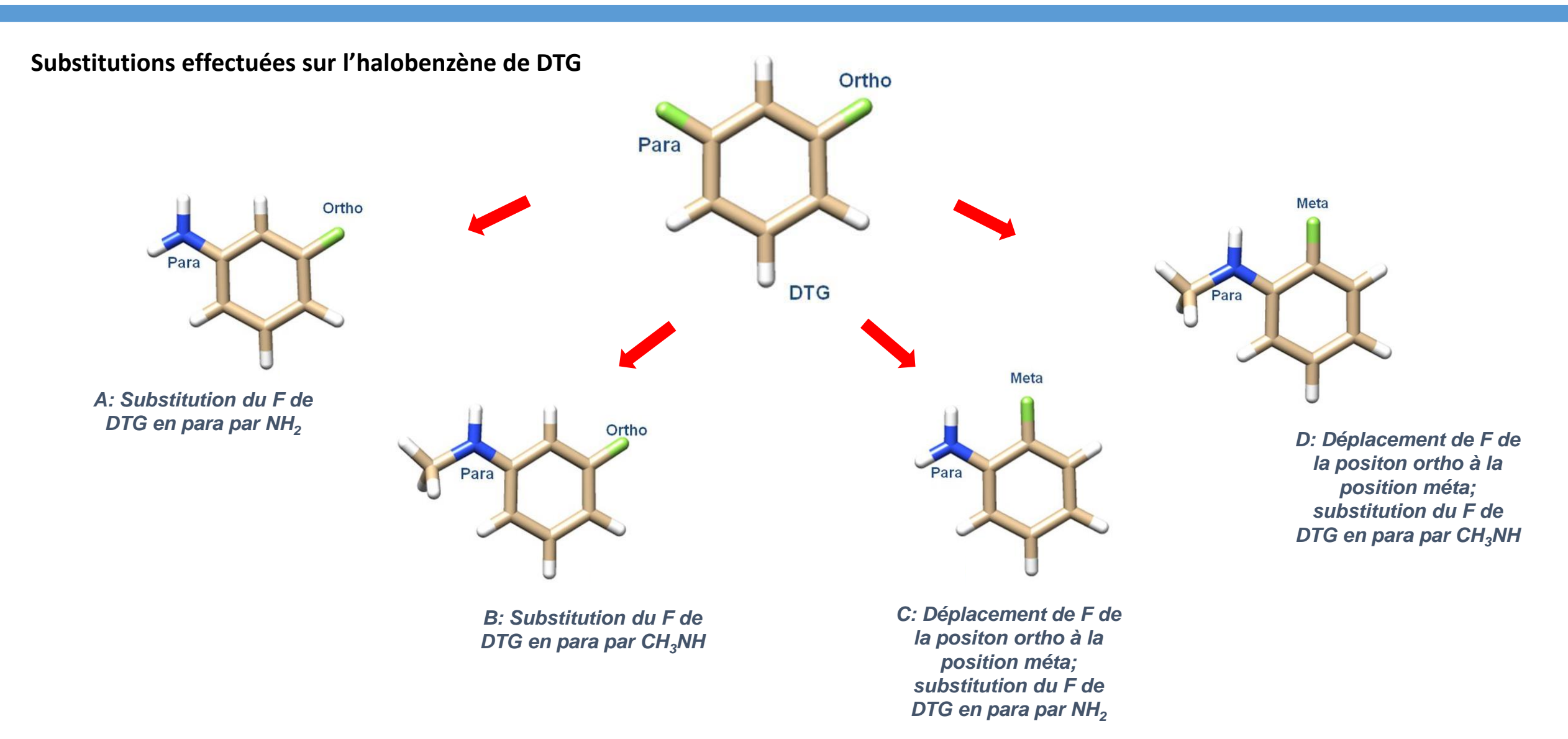


Détermination des contours des potentiels électrostatiques (MEP)



Calcul de l'énergie d'interaction du complexe par champs de force polarisable SIBFA

Conception de nouveaux dérivés de DTG

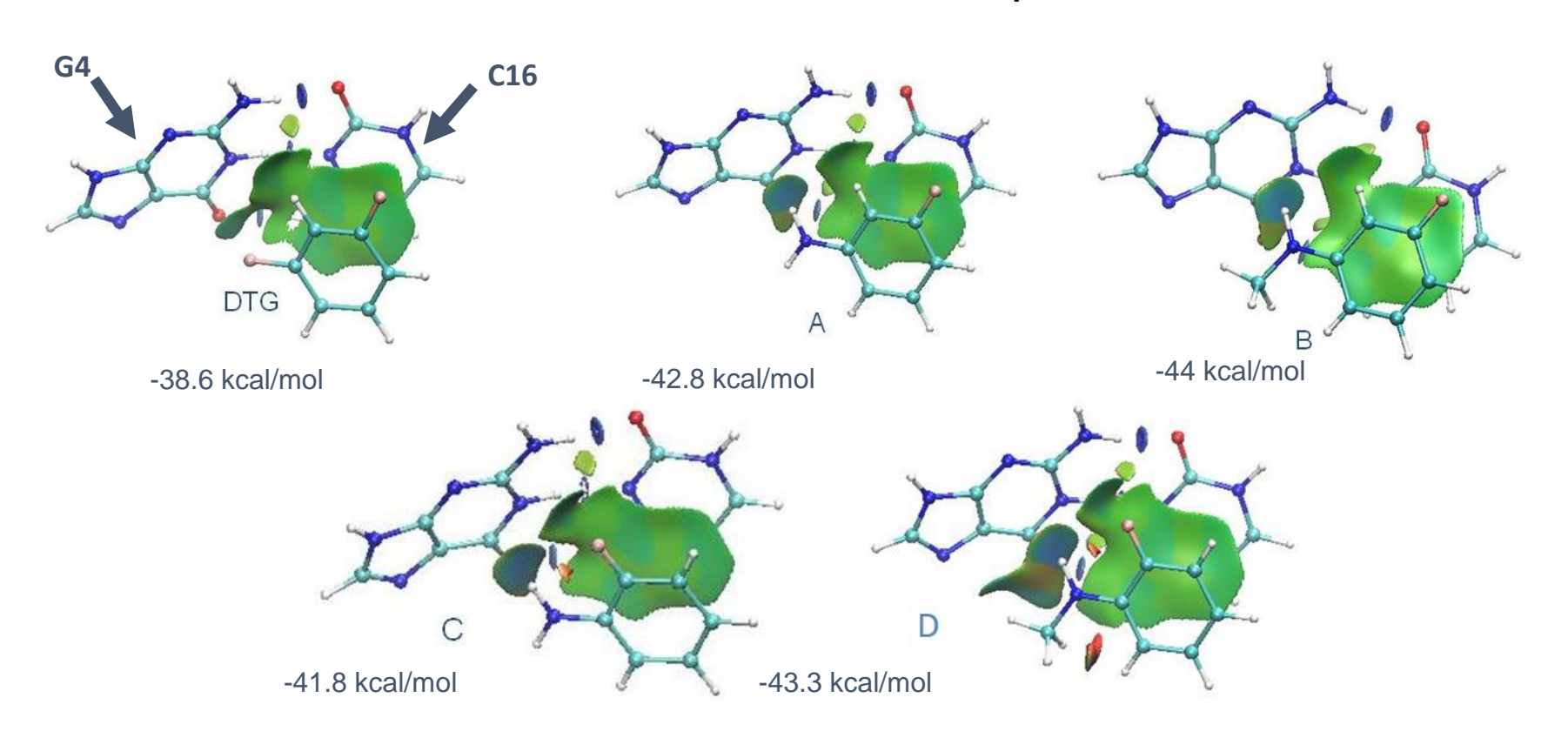


Evaluation des interactions des halobenzènes dérivés avec l'ADN viral

Evaluation des interactions des nouveaux halobenzènes dérivés de DTG avec G⁻⁴ et C⁴ de l'ADN viral processé au sein de l'intasome

Non Covalent Interactions-plot

Calcul des énergies d'interaction

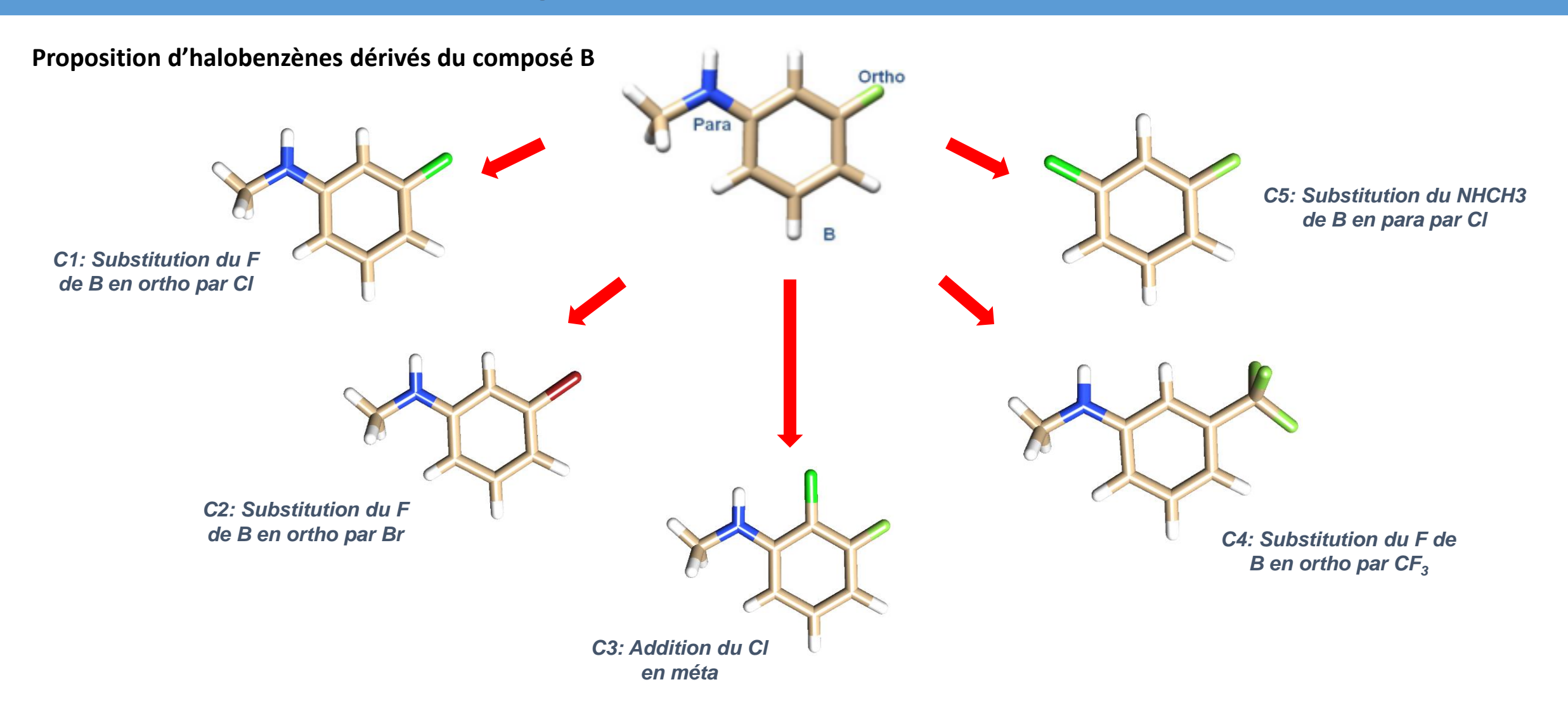


Les quatre composés présentent tous de meilleures zones d'interaction que le DTG avec C⁴ et G⁻⁴

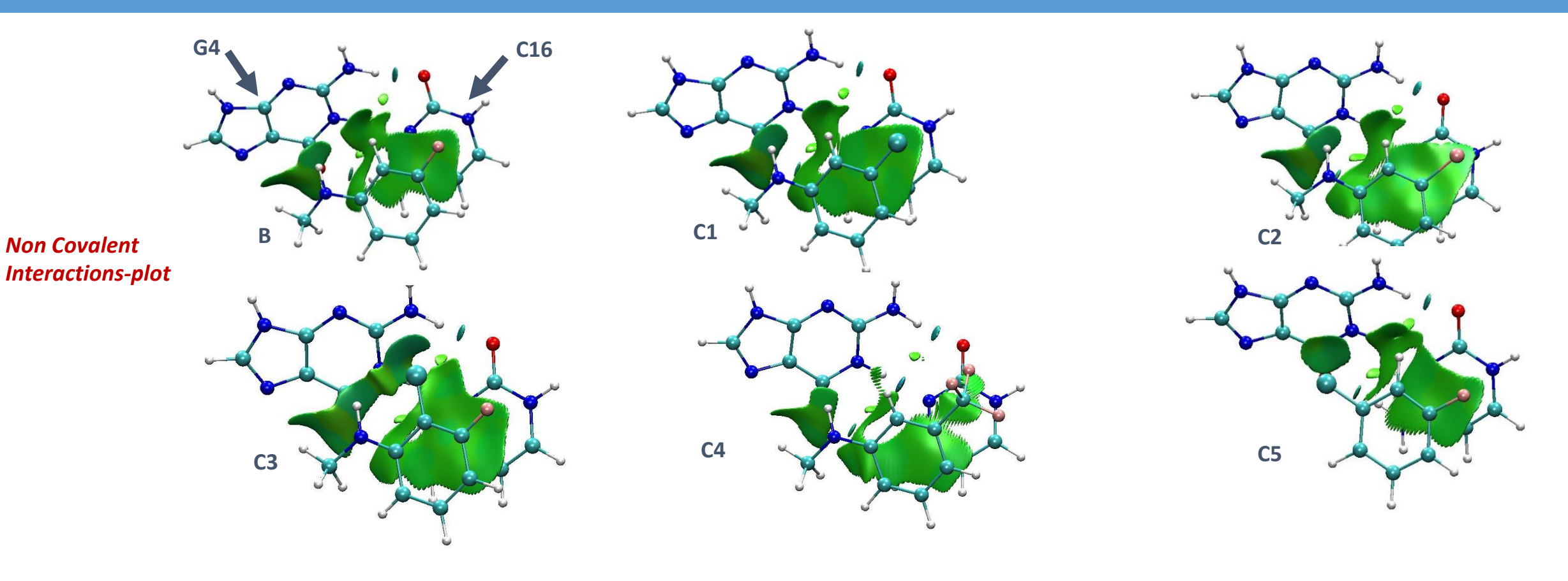


- Le dérivé (B) affiche les zones d'interactions les plus denses et les plus larges, donc la meilleure affinité aux nucléotides
- Les calculs des énergies d'interaction confirment les résultats NCI-plot

Conception d'une deuxième série d'inhibiteurs



Analyse topographique des complexes d'inhibiteurs



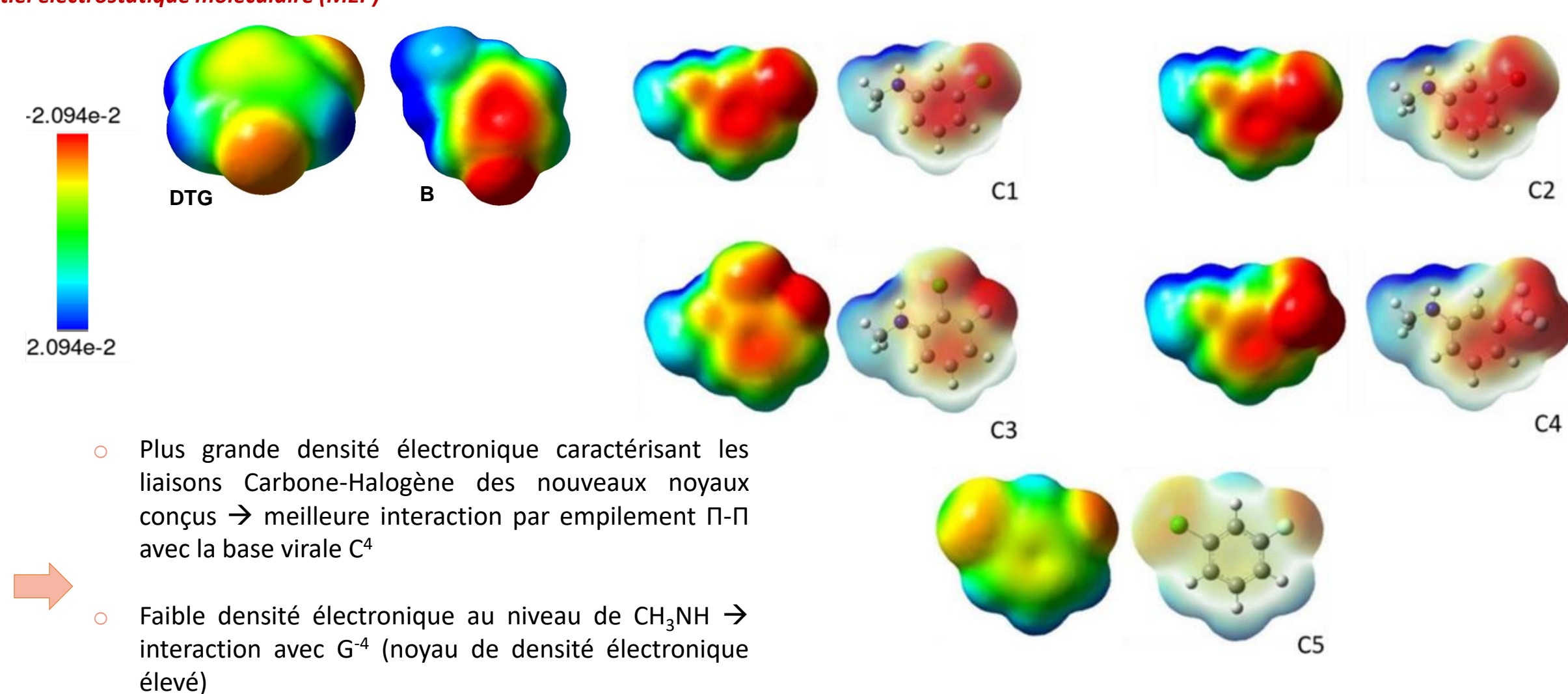
Meilleurs scores d'interaction des nouveaux noyaux conçus avec les deux bases d'ADN, en comparaison avec DTG



- Zones d'interactions particulièrement favorables pour C1, C2 et C4, donc meilleure affinité aux nucléotides que le composé B
- Le composé C4 inhibiteur le plus spécifique: liaisons électrostatiques favorisées avec G⁻⁴ via CH₃NH et empilement Π-Π fort avec C⁴ via CF₃

Analyse topographique des complexes d'inhibiteurs

Potentiel électrostatique moléculaire (MEP)



Résultats en accord avec NCI Plot

Détermination des énergies d'interaction du complexe ternaire

Energie d'interaction totale = ΔE totale = Energie du complexe (Dérivé de DTG + C_{16} + C_{4}) – (Energie de l'inhibiteur + Energie C_{16} + Energie C_{4})

<u>Composés</u>	ΔE (kcal/mol) (Chimie Quantique)
DTG	-37,4
Compound B	-44,0
Composé C1	-44,7
Composé C2	-44,9
Composé C3	-43,0
Composé C4	-45,5
Composé C5	-37,5



- Meilleures affinités aux nucléotides obtenues avec 3 composés de la seconde génération
- Les calculs des énergies d'interaction confirment l'analyse topographique des complexes d'inhibiteurs

Conclusions

Conception de nouveaux inhibiteurs halogénés d'INSTIs plus efficaces que DTG





Halogénations (Fluor, Chlore et Brome)

Substitutions (groupements donneurs d'électrons CH₃NH, groupements attracteurs d'électrons CF₃ et Fluor)

Renforcement des interactions entre les nouveaux halobenzènes et C4 et G-4





Augmentation des interactions non covalentes

Optimisation du potentiel électrostatique au sein des complexes d'inhibiteurs

Affinités d'interaction plus spécifiques avec les bases virales des nouveaux noyaux conçus, par rapport à DTG

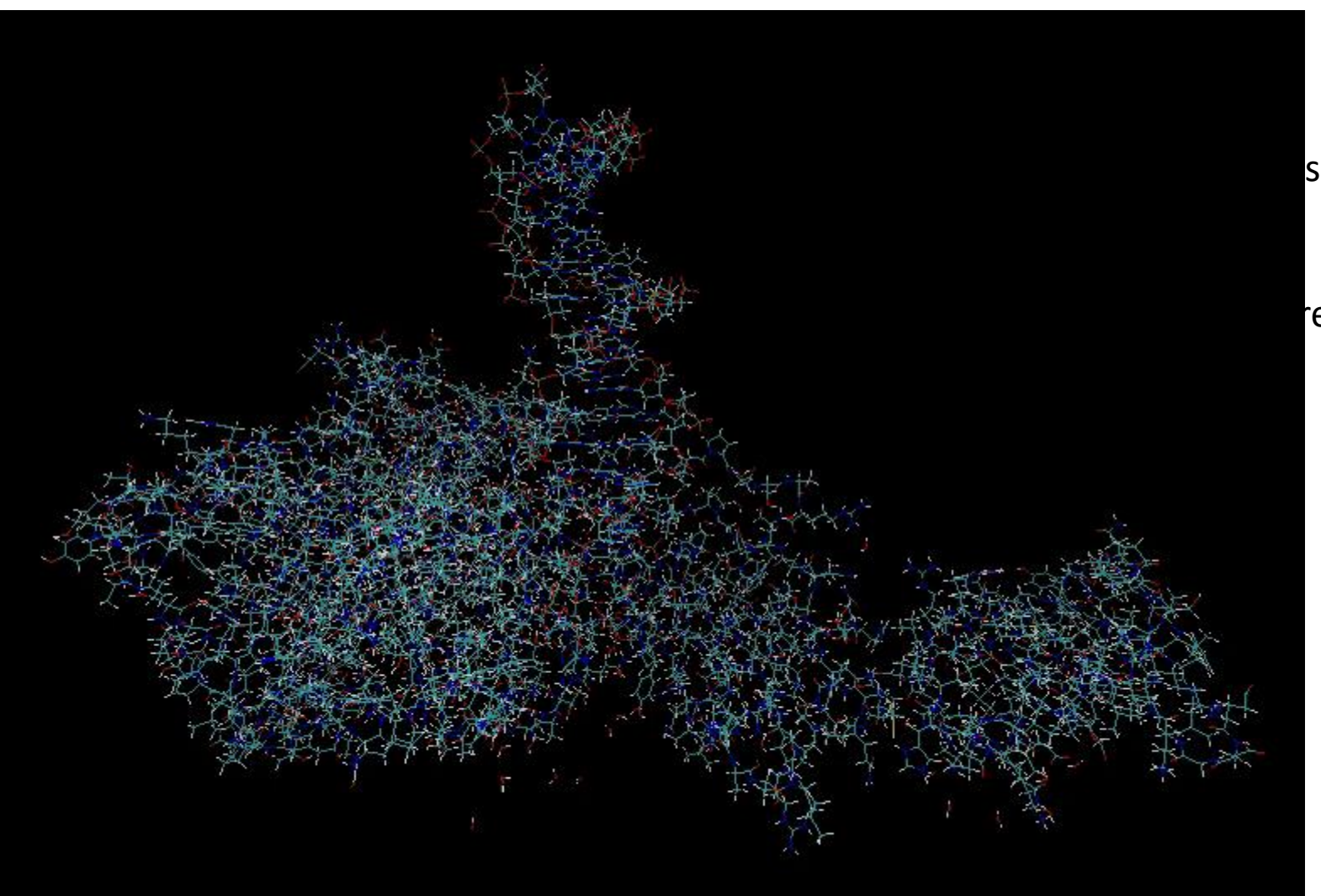
Conclusions générales

- Détermination du mécanisme d'action des DKA
- Explication du potentiel de DTG à surmonter la résistance virale
- Renforcement des affinités de liaison des ligands pour leurs cibles par des halogénations et substitutions sélectives
- Conception de dérivés de DTG, prometteurs en complexe avec l'ADN viral de l'intégrase du VIH-1

Perspectives

L'intasome du VIH-1 construit et solvaté par TINKER HP

- Explorer la nature et l
- Amarrer les dérivés de entier
- Réaliser la dynamiqu l'EVG, le DTG et les no
- Effectuer la synthèse



sein du complexe

re ultérieurement



Remerciements



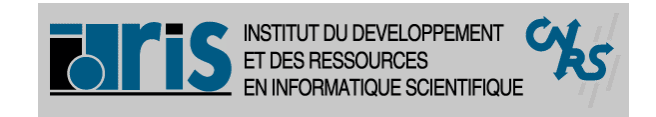


















Pr Richard Maroun
Dr Zeina Hobaika
Dr Farah Ammar
Mlle Perla El Darazi
Mlle Dina El Ahdab
Mlle Dima Daccache
Mlle Stephanie Khabbaz
Mlle Yara Tabet
M. Joseph Francis



Pr Jean-Philip Piquemal
Dr Nohad Gresh
Dr Olivier Parisel
Mlle Sehr-Naseem Khan
Mlle Perla El Darazi
Mlle Dina El Ahdab
M. Louis Lagardère
M. Felix Aviat

Dr Krystel El Hage, Universität Basel, Suisse

Dr Léa El Khoury University of California, Irvine, USA

Dr Christophe Narth, Sorbonne Universités, France Publications: 14 parues, 4 en cours de rédaction, 1 en cours de préparation, Communications affichées: 5
Communications orales: 9
1 Brevet d'invention

2 thèses de doctorat soutenues, 1 thèse en cours
14 stages de Master
L'Oréal Unesco FWIS Pan Arab Program 2011
TechWomen Program 2012